

**KARAKTERISASI MINERAL KALSIUM KARBONAT (CaCO₃) PADA
BATUAN KECAMATAN TAMALATEA KABUPATEN JENEPONTO
SULAWESI SELATAN**



Diajukan untuk Memenuhi Salah Satu Syarat Meraih Gelar Sarjana Sains
Jurusan Kimia Fakultas Sains dan Teknologi
UIN Alauddin Makassar

Oleh:

NUR INDAH
NIM: 60500116032

**FAKULTAS SAINS DAN TEKNOLOGI
UNIVERSITAS ISLAM NEGERI ALAUDDIN MAKASSAR**

2020

PERNYATAAN KEASLIAN SKRIPSI

Mahasiswa yang bertanda tangan dibawah ini:

Nama : Nur Indah
NIM : 60500116032
Tempat/Tgl Lahir : Parepare/ 16 Januari 1998
Jurusan : Kimia
Fakultas : Sains dan Teknologi
Alamat : Perumahan Bumi Tamarunang Indah
Judul : Karakterisasi Mineral Kalsium Karbonat (CaCO_3) pada
Batuan di Kecamatan Tamalatea Kabupaten Jeneponto
Sulawesi Selatan

Menyatakan dengan sesungguhnya dan penuh kesadaran bahwa skripsi ini benar adalah hasil karya sendiri. Jika dikemudian hari terbukti bahwa skripsi ini merupakan duplikat, tiruan, plagiat atau dibuat orang lain, sebagian atau seluruhnya, maka skripsi dan gelar yang saya peroleh karenanya batal demi hukum.

Gowa Oktober 2020

Penyusun



Nur Indah
NIM:60500116032

LEMBAR PENGESAHAN SKRIPSI

Skripsi yang berjudul "**Karakterisasi Mineral Kalsium Karbonat (CaCO₃) pada Batuan Kecamatan Tamalatea Kabupaten Jeneponto Sulawesi Selatan**", yang disusun oleh **Nur Indah, NIM: 60500116032**, mahasiswa jurusan kimia pada Fakultas Sains dan Teknologi UIN Alauddin Makassar, telah diuji dan dipertahankan dalam sidang munaqasyah yang diselenggarakan pada hari Kamis, 10 Desember 2020 bertepatan dengan 25 Rabiul Akhir 1442 H, dinyatakan telah dapat diterima sebagai salah satu syarat untuk memperoleh gelar Sarjana dalam Ilmu Kimia, Jurusan Kimia (dengan beberapa perbaikan).

Samata-Gowa, 10 Desember 2020 M
25 Rabiul Akhir 1442 H

DEWAN PENGUJI

Ketua	: Dr. Muh. Anshar Abubakar, S.Pt., M.Si	(.....)
Sekretaris	: Dr. Asri Saleh, ST., M.Si	(.....)
Munaqisy I	: Dra. Sitti Chadijah, S. Si., M.Si	(.....)
Munaqisy II	: Dr. H. Aan Farhani, M.Ag., Le	(.....)
Pembimbing I	: Dr. Rismawaty Sikanna, S. Si., M.Si	(.....)
Pembimbing II	: Asriani Ilyas, S. Si., M. Si	(.....)

Diketahui Oleh:
Dekan Fakultas Sains dan Teknologi
UIN Alauddin Makassar


Prof. Dr. Muhammad Khalifah Mustami, M. Pd
NIP. 197104122000031001

KATA PENGANTAR

بِسْمِ اللَّهِ الرَّحْمَنِ الرَّحِيمِ

Alhamdulillahirobbilalamin.Segala puji dan syukur atas kebesaran Allah Swt yang telah memberikan segala rahmat dan hidayahnya, sehingga penulis diberikan kekuatan dan kesempatan menyelesaikan skripsi ini dengan baik yang berjudul **“Karakterisasi Mineral Kalsium Karbonat (CaCO₃) pada Batuan di Kecamatan Tamalatea Kabupaten Jeneponto Sulawesi Selatan”**skripsi ini merupakan salah satu syarat untuk melakukan penelitian di Jurusan Kimia Fakultas Sains dan Teknologi Universitas Islam Negeri Alauddin Makassar. Shalawat serta salam tidaklupa pula penulis panjatkan kepada baginda Rasulullah Saw. Yang telah menghantarkan umat manusia dari peradaban hidup yang jahiliyah menuju peradaban hidup yang modern.

Pada kesempatan ini, penulis ingin pula menyampaikan banyak terima kasih kepada pihak-pihak di bawah ini yang banyak membantu penulis

1. Bapak Prof. Drs. Hamdan Juhannis M.A, Ph.D selaku Rektor UIN Alauddin Makassar.
2. Bapak Prof. Dr. Khalifah Mustami, M.Pd selaku dekan Fakultas Sains dan Teknologi UIN Alauddin Makassar dan sejawaran.
3. Bapak Dr. H. Asri Saleh, ST., M.Si selaku Ketua Jurusan Kimia Fakultas Sains dan Teknologi UIN Alauddin Makassar

4. Ibu Dr. Rismawaty Sikanna, S.Si., M.Si selaku Sekretaris Jurusan Kimia Fakultas Sains dan Teknologi UIN Alauddin Makassar dan sekaligus sebagai dosen pembimbing I atas segala bimbingan dan bantuannya selama proses penelitian berlangsung hingga selesai yang memberikan banyak ilmu sehingga penulis dapat menyelesaikan skripsi ini.
5. Ibu Asriani Ilyas, S.Si., M.Si selaku Pembimbing II atas segala bimbingan dan bantuannya dalam penulisan skripsi dan memberikan arahan serta saran yang baik sehingga penulis dapat menyelesaikan skripsi ini.
6. Ibu Dra. Sitti Chadijah, M.Si dan Bapak Dr. H. Aan Farhani, M.Ag.,Lc selaku penguji I dan penguji II yang berkenan memberikan kritik dan saran bagi penulis.
7. Seluruh Dosen Jurusan Kimia dan staf serta karyawan Fakultas Sains dan Teknologi UIN Alauddin Makassar.
8. Segenap laboran Jurusan Kimia Fakultas Sains dan Teknologi UIN Alauddin Makassar yang telah banyak membantu dalam proses penelitian. Terkhusus untuk Kak Ahmad Yani S.Si, selaku Laboran di Laboratorium Anorganik yang telah sabar membimbing penulis dalam proses penelitian dan memberikan banyak ilmu.
9. Staf Akademik Fakultas Sains dan Teknologi, Terima kasih atas segala didikan dan bantuan yang diberikan kepada kami selama kami kuliah hingga sekarang ini.

10. Keluarga saya terutama kedua orangtua saya yang memberikan segala dukungan dan kasih sayangnya hingga saya dapat bersemangat dalam menyelesaikan skripsi ini.
11. Teman penelitian sekaligus saudara tak sedarah saya saudari Darmawati dan Nurbaeti Hj. atas kerja sama yang begitu baik dalam proses penelitian ini dan selalu saling menguatkan dalam menghadapi segala rintangan untuk menyelesaikan skripsi penelitian ini.
12. Sahabat saya yang selalu setia menemani dari maba hingga sekarang Nur Asmi, Hijrawati, Rima Melani S, Siti Fatimah Ramadani, Lilis Sumarlina dan Irma Rahayu yang memberikan dukungan dan saling menguatkan satu sama lain dalam penyelesaian skripsi ini.
13. Teman-teman kimia angkatan 2016 (L16AN) selaku teman seperjuangan yang sudah seperti saudara yang telah banyak memberikan motivasi dan membantu dalam proses penelitian. Terutama saudara Mujihadul Haq, Harfendi, Alwin, dan Fadhil yang membantu saya dalam proses penelitian ini.
14. Teman-teman KKN angkatan 62 Desa Bonto-Bontoa Kecamatan Tompobulu
15. Kepada semua pihak yang tidak dapat disebutkan satu per satu, yang banyak membantu baik dalam proses penulisan skripsi ini maupun dalam proses penelitian.

Akhir kata penulis berharap, semoga tulisan ini dapat bermanfaat bagi pembaca dan sebagai informasi untuk penelitian selanjutnya yang lebih baik lagi. Penulis mohon maaf jika ada kesalahan atau terdapat hal yang tidak berkenan bagi para pembaca. Terima kasih atas perhatiannya. Wassalam.

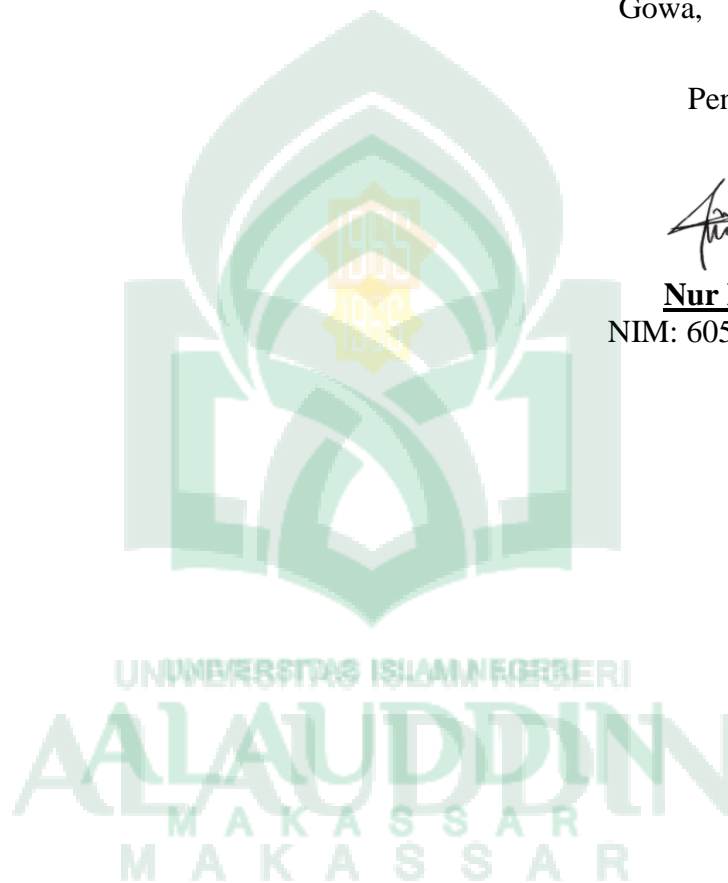
Gowa, Oktober 2020

Penulis,



Nur Indah

NIM: 60500116032



DAFTAR ISI

	Hal
JUDUL	i
PENGESAHAN SKRIPSI	iii
KATA PENGANTAR	iv - vi
DAFTAR ISI	vii-viii
DAFTAR GAMBAR	ix
DAFTAR TABEL.....	x
DAFTAR LAMPIRAN.....	xi
ABSTRAK	xii-xiii
BAB I PENDAHULUAN.....	1 - 6
A. Latar Belakang	1 - 5
B. Rumusan Masalah	6
C. Tujuan Penelitian	6
D. Manfaat Penelitian	6
BAB II TINJAUAN PUSTAKA.....	7 - 16
A. Batuan	7 - 9
B. Mineral Kalsium Karbonat (CaCO_3).....	9 - 10
C. Kristal.....	11 - 13
D. <i>X-Ray Diffraction</i> (X-RD).....	13 - 15
E. <i>X-Ray Fluorescences</i> (X-RF).....	15 - 16

BAB III METODE PENELITIAN.....	17-19
A. Waktu dan Tempat	17
B. Alat dan bahan	17
C. Prosedur penelitian	17-19
BAB IV HASIL DAN PEMBAHASAN.....	20-29
A. Hasil Penelitian.....	20-22
B. Pembahasan.....	22-29
BAB V PENUTUP	
A. Kesimpulan	30
B. Saran.....	30
DAFTAR PUSTAKA	31-33
LAMPIRAN.....	34-74



DAFTAR GAMBAR

	Hal
Gambar 2.1 Struktur Kristal.....	11-13
Gambar 2.1 Alat <i>X-Ray Diffraction</i> (X-RD).....	13
Gambar 2.2 Alat <i>X-Ray Fluorescences</i> (X-RF).....	15
Gambar 4.1 Struktur Kristal Mineral kalsit.....	23
Grafik 4.1 Pola Difraksi XRD Sampel Batuan T1.....	24
Grafik 4.2 Pola Difraksi XRD Sampel Batuan T2.....	25
Grafik 4.3 Pola Difraksi XRD Sampel Batuan T3.....	26
Grafik 4.4 Pola Difraksi XRD Sampel Batuan T4.....	27
Grafik 4.5 Pola Difraksi XRD Sampel Batuan T5.....	28



DAFTAR TABEL

	Hal
Tabel 4.1 Data Karakterisasi XRD Mineral Kalsit	20
Tabel 4.2 Perbandingan Data Hasil Pengukuran XRD Sampel T1 dengan Database Mineral	20
Tabel 4.3 Perbandingan Data Hasil Pengukuran XRD Sampel T2 dengan Database Mineral	21
Tabel 4.4 Perbandingan Data Hasil Pengukuran XRD Sampel T3 dengan Database Mineral	21
Tabel 4.5 Perbandingan Data Hasil Pengukuran XRD Sampel T4 dengan Database Mineral	21
Tabel 4.6 Perbandingan Data Hasil Pengukuran XRD Sampel T5 dengan Database Mineral	21
Tabel 4.7 Komposisi Senyawa oksida yang Terkandung pada Sampel	22
Tabel 4.8 Komposisi Unsur yang Terkandung pada Sampel	22



DAFTAR LAMPIRAN

	Hal
Lampiran 1 Skema Kerja Penenelitian	34
Lampiran 2 Diagram Alir	35-36
Lampiran 3 Dokumentasi Penenlitian	37
Lampiran 4 Peta Pengambilan Sampel	38-45
Lampiran 5 Hasil Karakterisasi XRD	46-64
Lampiran 6 Hasil Karakterisasi XRF	65-74



ABSTRAK

Nama : Nur Indah

Nim : 60500116032

**Judul : Karakterisasi Mineral Kalsium Karbonat (CaCO_3) pada Batuan
Kecamatan Tamalatea Kabupaten Jeneponto Sulawesi Selatan**

Batuan termasuk bagian utama dari bumi yang sangat melimpah, berbentuk padat yang mengandung mineral-mineral dalam keadaan membeku atau keras. Salah satu jenis mineral pada batuan yaitu mineral kalsium karbonat. Penelitian ini bertujuan untuk mengetahui karakteristik mineral CaCO_3 pada batuan di Kecamatan Tamalatea Kabupaten Jeneponto Sulawesi Selatan. Penelitian ini mengambil lima titik sampel yang diuji menggunakan alat *X-Ray Diffraction* (XRD) dan *X-Ray Fluorescence* (XRF). Hasil yang diperoleh yaitu untuk pengujian XRD semua titik termasuk dalam fase mineral kalsit yang memiliki struktur trigonal. Sedangkan pengujian XRF memperoleh komposisi kimia yang paling dominan yaitu unsur kalsium (Ca) sebesar 46,01-50,85%. Sehingga batuan tersebut dapat dikategorikan sebagai batuan sedimen jenis batu gamping.

Kata Kunci: Kalsium Karbonat, XRD, XRF, Kalsit (CaCO_3), Kalsium

ABSTRAK

Name : Nur Indah

Nim : 60500116032

**Title : Mineral Characterization of Calcium Carbonate (CaCO₃) in Rocks
Tamalatea District, Jeneponto Regency, South Sulawesi**

Rock is the main part of the earth which is very abundant, solid form containing minerals in a frozen or hard state. One type of mineral in the rock, namely the mineral calcium carbonate. This study aims to determine the characteristics of Calcite (CaCO₃) minerals in rocks in Tamalatea District, Jeneponto Regency, South Sulawesi. This study took five sample points tested using *X-Ray Diffraction* (XRD) dan *X-Ray Fluorescence* (XRF). The results obtained were for XRD testing of all points included in the calcite mineral phase which has a trigonal structure. Meanwhile, XRF testing obtained the most dominant chemical composition, namely the element calcium (Ca) of 46.01-50.85%. So that these rocks can be categorized as limestone sedimentary rocks.

Keyword: Calcium Carbonate, XRD, XRF, Calcite (CaCO₃) , Kalsium

BAB I

PENDAHULUAN

A. Latar Belakang

Kelimpahan sumber daya alam di Indonesia sangat beragam, salah satunya sumber daya mineral yang tersebar secara luas berupa bahan galian seperti pasir, timah, batu bara, minyak bumi dan batuan mineral (Munasir, dkk., 2012: 21). Namun masyarakat belum mengetahui yang terkandung didalamnya sehingga belum dimanfaatkan secara maksimal. Salah satu daerah yang memiliki sumber daya mineral yang dapat dikembangkan yaitu Sulawesi Selatan tepatnya di Kabupaten Jeneponto.

Kondisi morfologi Kabupaten Jeneponto memiliki bentuk permukaan yang beragam (Moe'tamar, 2008: 5), sebelah selatan meliputi wilayah-wilayah dataran rendah dengan ketinggian 0-100 meter di atas permukaan laut, di bagian tengah memiliki dataran dengan ketinggian 100-500 meter di atas permukaan laut, dan sebelah utara terdiri dari dataran tinggi dan bukit-bukit yang membentang dari barat ke timur dengan ketinggian 500-1.400 meter di atas permukaan laut. Sepertisering dijumpai batuan seperti batu gamping atau batu kapur yang memiliki warna putih krem hingga kuning muda yang terdapat di Kecamatan Tamalatea (Bapeda Kabupaten Jeneponto, 2017: 14)

Batuan termasuk salah satu elemen kulit bumi berbentuk padat yang mengandung mineral-mineral dalam keadaan membeku atau keras (Taylor, 2001: 8). Seperti dijelaskan pada QS Fathir/ 35: 27 mengenai batuan adalah sebagai berikut:

أَلَمْ تَرَ أَنَّ اللَّهَ أَنْزَلَ مِنَ السَّمَاءِ مَاءً فَأَخْرَجْنَا بِهِ ثَمَرَاتٍ مُخْتَلِفًا أَلْوَانُهَا وَمِنَ الْجِبَالِ جُدَدٌ بَيضٌ وَحُمْرٌ مُخْتَلِفٌ أَلْوَانُهَا وَغَرَابِيبُ سُودٌ

Terjemahan-nya:

“Tidakkah engkau melihat bahwa Allah menurunkan air dan langit lalu dengan air itu kami hasilkan buah-buahan yang beraneka macam jenisnya. Dan di antara gunung-gunung itu ada garis-garis putih dan merah beraneka macam warnanya dan ada (pula) yang hitam pekat (Kementrian Agama RI, 2013)”

Berdasarkan Tafsir Al-Misbah (2009) mengenai ayat Al-Quran di atas (Q.S Fathir (35) ayat 27) penafsiran ayat ini di mana ayat ini melanjutkan uraian tentang bukti-bukti kuasa Allah SWT bahwa Allah lah yang menurunkan air hujan dari langit. Lalu dengan sebab air hujan itu, muncullah berbagai jenis buah-buahan, ada yang merah dan kuning, ada yang manis dan asam, dan ada yang baik dan buruk. Dan di antara gunung-gunung ada yang memiliki jalur-jalur dan garis-garis berwarna putih dan merah yang kejelasan dan keburamannya berbeda satu sama lain dan di antara gunung-gunung ada garis-garis putih dan merah yang beranekaragam warnanya. Kemukjizatan ayat ini dari segi ilmu pengetahuan sebenarnya bukan saja tampak ketika ia menyebutkan bahwa warna gunung yang bermacam-macam itu disebabkan adanya perbedaan materi-materi yang dikandung oleh bebatuan gunung-gunung itu. Jika materinya besi, maka warna dominannya adalah merah, jika materinya batu bara maka warna dominannya warna hitam, jika materinya perunggu maka gunung tersebut berwarna kehijau-hijauan dan seterusnya. Tidak hanya sampai di situ, kemukjizatan ayat ini sebenarnya sangat menonjol ketika ia mengaitkan adanya berbagai jenis buah-buahan meskipun pepohonannya disiram dengan air yang sama, dengan penciptaan gunung-gunung yang beraneka warna merah, putih atau hitam meskipun juga berasal dari suatu materi yang sama di dalam perut bumi. Materi ini, oleh para geologi, dinamakan magma yang muncul di berbagai kawasan

bumi. Akan tetapi, karena kemunculan magma itu dari kedalaman yang berbeda, maka kandungannya menjadi berbeda pula.

Ayat di atas mengisyaratkan bahwa diantara gunung-gunung terdapat garis yang memiliki warna bermacam-macam ini berupa batuan seperti batuan berwarna putih, merah, kuning dan hitam. Menurut Sapiie,dkk (2006), ada tiga jenis batuan yaitu batuan beku, batuan sedimen atau endapan dan batuan metamorf. Salah satu jenis batuan beku yang diisyaratkan pada ayat tersebut yaitu batu obsidian yang memiliki warna yang hitam pekat, batuan metamorf seperti batuan kuarsit berwarna kuning pucat dan batuan sedimen seperti batu gamping yang berwarna putih keabu-abuan. Batuan memiliki kandungan mineral seperti dijelaskan pada QS al- A’Raaf/ 7:10

وَلَقَدْ مَكَّنَّاكُمْ فِي الْأَرْضِ وَجَعَلْنَا لَكُمْ فِيهَا مَعِيشًا قَلِيلًا مَّا تَشْكُرُونَ

Terjemahan-nya:

“Sesungguhnya Kami telah menempatkan kamu sekalian di muka bumi dan Kami adakan bagimu di muka bumi (sumber) penghidupan. Amat sedikitlah kamu bersyukur(Kementrian Agama RI, 2013)”.

Menurut tafsir Ibnu Katsir (2003) pada ayat tersebut Allah mengingatkan hamba-hamba-Nya bahwa perihal karunia yang telah Dia berikan kepada mereka, yaitu Dia telah menjadi-kan bumi sebagai tempat tinggal mereka, dan Dia telah menjadikan padanya pasak-pasak (gunung-gunung) dan sungai-sungai, serta menjadikan padanya tempat-tempat tinggal dan rumah-rumah buat mereka. Dia memperbolehkan mereka untuk memanfaatkannya, dan menundukkan awan buat mereka untuk mengeluarkan rezeki mereka dari bumi. Dia telah menjadikan bagi mereka di bumi itu penghidupan mereka, yakni mata pencaharian serta berbagai sarananya sehingga mereka dapat berniaga padanya dan dapat membuat berbagai

macam sarana untuk penghidupan mereka. Tetapi kebanyakan mereka amat sedikit yang mensyukurinya.

Ayat ini mengisyaratkan bahwa Allah swt telah menciptakan berbagai macam di dunia seperti gunung, sungai serta menciptakan tumbuh-tumbuhan. Hewan dan bahan galian yang sangat bermanfaat bagi manusia. Bahan galian dapat berupa batuan. Bahan galian berasal dari endapan gunung dan sungai yang akan terbentuk menjadi mineral. Kandungan mineral pada batuan dapat dikarakterisasi menggunakan metode XRD (*X-ray Diffraction*) dan XRF (*X-Ray Fluorescence*).

XRD termasuk metode analisis yang biasa digunakan untuk mengetahui susunan atom, ion atau molekul dalam bentuk padat maupun kristal. Berbeda dengan XRF yang termasuk metode analisa yang biasa digunakan untuk mengidentifikasi kandungan kimia yang terdapat di dalam suatu material seperti batuan mineral (Setiabudi, 2012: 34-52).

Mineral sangat bermanfaat dalam berbagai bidang, seperti mineral fosfor digunakan dalam bidang pertanian, industri pupuk, asam fosfat, industri pembuatan detergen dan industri kimia (Sukandarrumidi, 1998: 48-88). Mineral kalsit (CaCO_3) biasanya dimanfaatkan dalam industri cat, kertas, perekam magnet, industri tekstil, detergen, plastik dan kosmetik (Noviyanti, dkk., 2015: 169). Mineral kalsium karbonat (CaCO_3) terdapat di alam dalam bentuk gamping dan kapur. Bentuk kristal dari CaCO_3 ada tiga macam yaitu kalsit (trigonal-rhombohedral), aragonit, dan vaterit (Alger, 1989).

Penelitian Hupp dan Donovan (2018: 11-12) menunjukkan terkandung 9 jenis mineral di dalam sampel batuan yaitu kuarsa (SiO_2), muskovit $(\text{KF})_2(\text{Al}_2\text{O}_3)_3(\text{SiO}_2)_6$, illit, klinoklor, pirit (FeS_2), albit ($\text{NaAlSi}_3\text{O}_8$), kalsit (CaCO_3), dolomit ($\text{CaMg}(\text{CO}_3)_2$) dan barit ($\text{Ba}(\text{OH})_2(\text{H}_2\text{O})_x$). Element kimia yang terkandung yaitu SiO_2 ,

Al_2O_3 , FeO , MgO , CaO , Na_2O , K_2O , BaO , SrO dan SO_3 . Hasil analisis sampel batuan yang berasal dari daerah Tulung Agung Jawa Timur secara kualitatif menyatakan bahwa termasuk dalam jenis batu beku yaitu onik, unsur oksida yang dominan sebagai penyusun batuan onik adalah kalsit (CaCO_3) hal ini dapat dilihat dari hasil XRD pada sampel. Hasil XRF diperoleh komposisi oksida terbesar adalah CaO atau CaCO_3 sebesar 98,32% (Munasir, dkk., 2012: 26-28).

Pembentukan kalsium karbonat terjadi dengan cara presipitasi kimia dibawah suhu rendah ketika CaCO_3 larut di dalam air dan karbondioksida (CO_2) dan dapat ditemukan pada dinding-dinding gua. Selain itu dapat pula terjadi secara alamiah, ketika kalsium yang berasal dari kehidupan bergabung dengan karbonat dalam air laut atau dari atmosfer sehingga membentuk kalsium karbonat (Miura, 2007: 1277). Mineral CaCO_3 termasuk penyusun utama dari batu gamping yang biasanya tumbuh subur di laut dangkal dan daerah tropis (Adler, 2011: 52). Proses pembentukan CaCO_3 berkaitan erat dengan proses intrusi magma dimana bentuk endapannya berupa bukit, pantai dan perbukitan (Mukarrom, 2017: 42).

Penelitian Hwidi, dkk, (2018: 4) di bukit Kateri Malaysia memperoleh 97,58% fasa kalsit (CaCO_3). Santika dan Dedi (2017: 233) di bukit kapur daerah Jawa Timur menunjukkan dari kedua sampel batuan dengan formasi yang berbeda mengandung mineral dolomit dan kalsit masing-masing sebanyak 95% dan 99,1%. Serupa dengan penelitian Munawaroh, dkk., (2009: 2-3) di bukit kapur Blumbungan, Pemekasan, Jawa Timur memperoleh fase kalsit 100% berbentuk rombohedral kubik dengan partikel CaCO_3 sekitar 1,594-2,503 μm dengan kadar Ca 99,25%. Makfiroh (2012: 6) menunjukkan bahwa di daerah Aceh terdapat mineral kalsit yang dilihat dari ciri-ciri fisiknya yaitu berwarna putih mengkilap, kuning, kuning kecoklatan dan putih krem. Dari beberapa penelitian tersebut dapat disimpulkan bahwa pada setiap daerah bukit

kapur memiliki kandungan mineral CaCO_3 yang berbeda dan dari ciri-ciri batuan tersebut diduga mengandung kalsium karbonat karena terdapat batuan berwarna putih pudar dan putih krem di daerah bukit Kecamatan Tamalatea, Kabupaten Jeneponto Sulawesi Selatan. Sehingga perlu dilakukan penelitian di daerah ini menggunakan uji XRD dan XRF.

B. Rumusan Masalah

Rumusan masalah pada penelitian ini yaitu bagaimana karakterisasi mineral CaCO_3 pada batuan di Kecamatan Tamalatea Kabupaten Jeneponto Sulawesi Selatan?

C. Tujuan Penelitian

Tujuan penelitian ini yaitu mengetahui karakteristik mineral CaCO_3 pada batuan di Kecamatan Tamalatea Kabupaten Jeneponto Sulawesi Selatan.

D. Manfaat Penelitian

1. Memberikan informasi kepada masyarakat mengenai mineral batuan.
2. Memberikan informasi kepada masyarakat bahwa batuan memiliki komposisi kimia yang dapat dimanfaatkan.
3. Sebagai referensi atau rujukan dalam menyelesaikan tugas akhir.

BAB II

TINJAUAN PUSTAKA

A. Batuan

Batuan merupakan bagian utama dari bumi yang sangat melimpah. Macam-macam batuan sangat beragam dengan karakteristik dan komposisi yang dapat diketahui melalui analisis laboratorium (Ardiansyah, dkk., 2015: 14).

Jenis jenis batuan dapat dikelompokkan menjadi 3 jenis yaitu batuan beku, batuan sedimen dan batuan malihan.

1. Batuan beku

Batuan beku atau batuan igneus atau dalam bahasa latin berarti api terbentuk dari magma yang mendingin dan mengeras, baik melalui proses kristalisasi maupun tidak, baik di bawah permukaan sebagai batuan intrusif (*plutonik*) maupun di atas permukaan sebagai batuan ekstrusif (vulkanik). Magma ini biasanya berasal dari batuan setengah cair ataupun batuan yang sudah ada, baik di mantel ataupun kerak bumi. Proses pelelehan terjadi akibat adanya proses kenaikan temperatur, penurunan tekanan atau perubahan komposisi. Batuan beku paling banyak terbentuk di bawah permukaan kerak bumi, sekitar 700 tipe batuan beku telah berhasil diidentifikasi (Noor, 2009: 63). Batuan beku terdiri dari kristal-kristal mineral dan kadang-kadang mengandung gelas. Mineral yang pertama terbentuk ialah mineral yang berat jenisnya besar yaitu mineral yang berwarna tua (Nandi, 2010: 2).

Menurut penelitian Ardiansyah, dkk., (2015: 14-15) hasil dari analisa petrografi yaitu komponen penyusun litologi batupasir terdiri dari fragmen batuan, mineral kuarsa, felspar, kalsit, biotit, mineral opak dan semen. Berdasarkan analisa tipe mineral kuarsa dengan menggunakan klasifikasi genetik dapat disimpulkan

bahwa pada daerah penelitian sampel berasal dari 3 jenis batuan yaitu kuarsa batuan beku plutonik, kuarsa batuan beku vulkanik dan kuarsa batuan metamorf.

2. Batuan Sedimen

Permukaan bumi tersusun hampir tiga per empat jenis batuan sedimen. Batuan ini menyimpan banyak informasi geologi yang menjelaskan berbagai proses yang pernah terjadi atau yang sedang terjadi di bumi. Proses ini mengakibatkan jenis dan karaktersitiknya menjadi beragam (Purasongka, 2015: 1). Batuan sedimen merupakan batuan yang terdiri atas batu-batu pasir, batu lempung dan batu gamping. Ciri fisik dari batuan sedimen salah satunya yaitu keras hal ini disebabkan karena biasanya lokasi pengambilan batuan sedimen telah terjadi tektonik yang cukup kuat (Haryanto, 2007: 153).

Terbentuknya batuan sedimen dipengaruhi oleh beberapa faktor seperti iklim, topografi, vegetasi dan juga susunan yang ada dari batuan. Selain itu ada beberapa hal yang mengontrol pengangkutan sedimen yaitu air, angin dan gaya gravitasi. Sedimen dapat terangkut baik oleh air, angin dan bahkan salju. Mekanisme pengangkutan sedimen oleh air dan angin sangatlah berbeda. Hal ini disebabkan karena berat jenis angin relatif lebih kecil dari air sehingga sulit mengangkut sedimen. Besar maksimum dari ukuran sedimen yang mampu terangkut oleh angin umumnya sebesar ukuran pasir (Noor, 2009: 80).

3. Batuan Malihan

Batuan malihan atau sering disebut metamorf merupakan jenis batuan yang mengalami perubahan dari bentuk asalnya dari batuan yang sudah ada baik batuan beku, sedimen, ataupun dari batuan metamorf yang lain. Terjadi secara fisik dan kimiawi sehingga berbeda dengan batuan induknya. Perubahan ini diakibatkan dari tekanan, temperatur dan aliran panas baik cair maupun gas (Nandi, 2010: 14).

Batuan termasuk suatu benda tersusun dari mineral-mineral yang sama atau tidak sama jenisnya. Mineral batuan tidak harus besar ataupun kekar, akan tetapi lumpur, liat dan pasir juga termasuk ke dalam istilah batuan (Kusmiyarti, 2016: 36).

B. Mineral Kalsium Karbonat ($CaCO_3$)

Mineral merupakan zat padat yang tersusun secara anorganik yang melimpah di alam dan memiliki komposisi kimia yang berbeda-beda serta atom-atom penyusunnya teratur (Haris, dkk., 2014: 263). Berbagai mineral memiliki sifat, bentuk dan ukuran kristal yang berbeda tergantung dari jenis mineral tersebut (Tutu, dkk., 2015: 193). Mineral dapat terbentuk dari pembekuan magma (proses pendinginan) dan dapat juga terbentuk dari larutan dalam air atau proses penguapan. Mineral dapat diklasifikasikan menjadi mineral sebagai: unsur, sulfat, sulfida, oksida, karbonat, halida, silikat fosfat, tungstat, molibdat, uranat, vanadat, dan arsenat. Adapun sifat-sifat mineral diantaranya adalah memiliki bidang belah (*cleavage*), warna, goresan (*streak*), kilap (*luster*), kekerasan, pecahan, berat jenis dan bentuk kristal (Makfiroh, 2012: 5).

Mineral utama penyusun kerak bumi disebut mineral pembentuk batuan terutama mineral golongan silikat. Beberapa golongan mineral yaitu golongan mineral mafik yang berwarna tua dan banyak mengandung magnesium dan besi. Sedangkan golongan mineral yang berwarna muda atau mineral felsik yang sedikit mengandung unsur besi dan magnesium. Mineral felsik merupakan kelompok mineral sebagai penyusun utama dalam batuan. Kelompok mineral felsik jika terubah akan menjadi serisit, lempung dan karbonat (Widiyastuti, 2016: 9).

Kalsium karbonat (CaCO_3) adalah senyawa yang terdapat dalam batuan kapur dalam jumlah besar. Senyawa ini merupakan mineral paling sederhana yang tidak mengandung silikon dan merupakan sumber pembuatan senyawa kalsium terbesar secara komersial. Endapan halus Kalsium karbonat (CaCO_3) yang dibutuhkan industri ini dapat diperoleh secara kimia, sedang secara fisika hanya didapatkan batuan gamping saja. Secara umum, pembuatan Kalsium karbonat (CaCO_3) secara kimiadilakukan dengan mengalirkan gas Karbon dioksida (CO_2) ke dalam slurri Kalsium hidroksida ($\text{Ca}(\text{OH})_2$) dengan memperhatikan suhu, waktu, kepekatansuspensi, dan kecepatan pengadukan (Risnojatiningsih, 2009: 39).

Karbonat merupakan jenis batuan mineral yang umumnya terbentuk di perairan laut dangkal yang bersuhu hangat, di mana masih terdapat sinar matahari yang bisa menembus kedalaman air. Selain itu karbonat juga diendapkan di danau air tawar, jika air panas bercampur CaCO_3 mencapai permukaan bumi (pada mata air panas), air campuran tersebut akan menguap dan meninggalkan produk berupa mineral kalsit (Achmad, 2011: 2).

Mineral kalsit (CaCO_3) berwarnaputih mengkilap, kuning, kuning kecoklatan danputih krem. Goresan putih, kilap kaca atau mutiara,transparan, kekerasan 3 Mohs dan beratjenis 2,7 (Makfiroh, 2012: 6).Mineral karbonat yang umum ditemukan berasosiasidengan batu kapur adalah aragonit, yang merupakan mineral metastabil karena padakurun waktu tertentu dapat berubah menjadi kalsit (CaCO_3) (Noviyanti,dkk., 2015:169). Selain itu kalsium karbonat juga banyak dijumpai pada stalaktit dan stalagmit yang terdapat di sekitar pegunungan (Margareta,dkk., 2015: 16). Kalsium karbonat memiliki tiga bentuk kristal yaitu kalsit (rombohedral), aragonit (orthorombik) dan vaterit (heksagonal) (Lailiyah, 2012: 6).

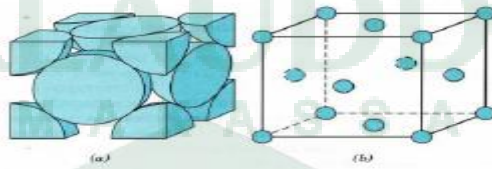
C. Kristal

Kristal merupakan susunan atom-atom atau kumpulan atom yang teratur dan berulang dalam ruang tiga dimensi. Keteraturan susunan tersebut disebabkan oleh kondisi geometris yang dipengaruhi oleh ikatan atom yang memiliki arah (Agus, 2012: 47). Kristal terbentuk dalam berbagai ukuran, bentuk dan warna. Beberapa kristal seperti berlian, lebih dikenal daripada yang lainnya. akan tetapi semua memiliki keindahan tertentu. Pembentukan kristal menunjukkan sifat struktur luar dari kristal (Fitri, 2017: 24).

Bentuk kristal suatu mineral berkembang tanpa mendapat hambatan, maka akan mempunyai bentuk kristalnya yang khas. Tetapi apabila dalam perkembangannya mendapat hambatan, maka bentuk kristalnya juga akan terganggu. Setiap mineral akan mempunyai sifat bentuk kristalnya yang khas, yang merupakan perwujudan kenampakan luar yang terjadi sebagai akibat dari susunan kristalnya di dalam (Noor, 2009:75)

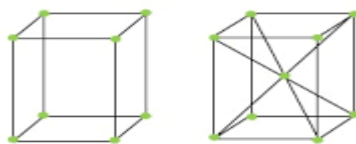
Menurut Smallman dan Bioshop (2000:16), bentuk-bentuk kristal adalah sebagai berikut:

1. Kubik memiliki sumbu $a_1=a_2=a_3$ dengan semua sudut sumbu 90° .



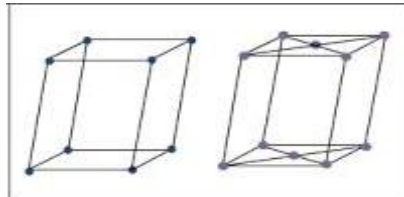
Gambar 2.1 Struktur Kristal Kubik

2. Tetragonal memiliki sumbu $a_1=a_2 \neq c$ dengan semua sudut sumbu 90° .



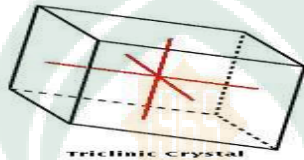
Gambar 2.2 Struktur Kristal Tetragonal

3. Ortorombik memiliki sumbu $a_1 \neq a_2 \neq c$ dengan semua sudut sumbu 90° .



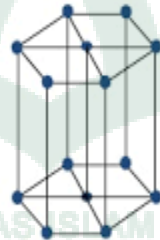
Gambar 2.3 Struktur Kristal Ortorombik

4. Monoklinik memiliki sumbu $a_1 \neq a_2 \neq c$ dengan dua sudut sumbu 90° dan satu sudut $\neq 90^\circ$.



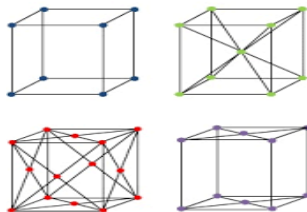
Gambar 2.4 Struktur Kristal Monoklinik

5. Triklinik memiliki sumbu $a_1 \neq a_2 \neq c$ semua sudut berbeda tidak sama dengan 90° .



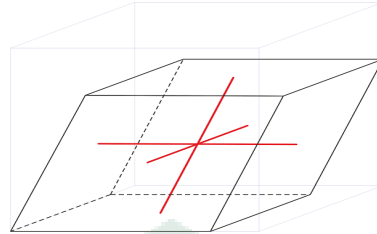
Gambar 2.5 Struktur Kristal Triklinik

6. Heksagonal memiliki sumbu $a_1 = a_2 \neq a_3$ dengan sudut-sudut 90° dan 120° .



Gambar 2.6 Struktur Kristal Heksagonal

7. Rhombohedral memiliki sumbu $a_1=a_2=a_3$ dengan semua sudut sama tetapi bukan 90° .



Gambar 2.7 Struktur Kristal Rhombohedral

Penelitian Apriliani (2012: 33), struktur kristal dari batuan karbonat memperoleh struktur rhombohedral dengan fasa kalsit. Seperti yang diketahui bahwa struktur ini paling mudah terbentuk. Untuk mengetahui fasa mineral, struktur kristal dan komposisi kimia dari batuan mineral dapat menggunakan alat XRD dan XRF.

D. X-Ray Diffraction (XRD)

X-Ray Diffraction (XRD) adalah metode analisis yang dapat menggambarkan batuan secara efektif menggunakan difraksi/pantulan sinar X (Wicaksono, dkk., 2017: 1864).



Gambar 2.8 X-Ray Diffraction (XRD)

Metode analisis XRD dapat dibedakan menjadi 2 yaitu metode kristal tunggal dan metode serbuk. Metode kristal tunggal digunakan dalam penentuan struktur kristal, sedangkan metode serbuk digunakan untuk mengidentifikasi kandungan suatu sampel (Munasir, dkk., 2012: 24).

Prinsip dasar XRD adalah mendifraksi cahaya yang melalui celah kristal. Difraksi cahaya oleh kisi-kisi atau kristal ini dapat terjadi apabila difraksi tersebut berasal dari radiasi yang memiliki panjang gelombang yang setara dengan jarak antar atom, yaitu sekitar 1 Angstrom (Agus, dkk., 2012: 39).

Analisis mineralogi dengan XRD memiliki keunggulan yang cukup besar dibanding dengan analisis petrografi, hal ini disebabkan karena metode analisis XRD ini dapat mengidentifikasi dengan jelas jenis mineral pada batuan. Secara umum metode XRD digunakan untuk mengidentifikasi material kristal maupun nonkristal dengan memanfaatkan radiasi gelombang elektromagnetik sinar-X yang nantinya akan menghasilkan mineral suatu material dalam bentuk bubuk (*powder*) (Wicaksono, dkk., 2017: 1864).

Menurut Sujarwata dan Astuti (2015: 46), hasil pengukuran dengan instrumen XRD berupa grafik difraktogram. Informasi yang dapat diperoleh dari analisis menggunakan XRD sebagai berikut:

1. Pembangkit sinar-x menghasilkan radiasi elektromagnetik setelah dikendalikan oleh celah penyimpang.
2. Posisi puncak difraksi memberikan gambaran parameter kisi, jarak antar bidang, struktur kristal dan orientasi dari sel satuan.
3. Intensitas relatif puncak difraksi memberikan informasi gambaran tentang posisi atom dalam suatu sel satuan.
4. Bentuk puncak difraksi memberikan gambaran ukuran kristal dan ketidaksempurnaan kisi dikelompokkan dalam beberapa grup, dengan intensitas relatif paling tinggi pertama disebut d_1 , d_2 , d_3 dan seterusnya.

Penelitian Israwaty (2013: 89) hasil XRD menunjukkan bahwa batuan sebagian besar terdiri dari SiO_2 dan CaCO_3 . Penelitian mengenai karakterisasi batuan juga dilakukan oleh Tutu, dkk., (2015) yang menyatakan bahwa batuan berbentuk lempengan dan gumpalan yang mengandung cacat dan ukuran yang bervariasi. Kandungan mineral pada sampel sedimen tersebut didominasi oleh mineral kaolindan kuarsa.

E. X-Ray Fluorescence (XRF)

Analisis dengan XRF merupakan metode yang paling umum digunakan karena prosedur persiapan sampel sederhana, waktu analisis cepat, kestabilan mesin baik, hasil akurat dan cukup ekonomis. Analisis XRF biasanya digunakan untuk mengidentifikasi komposisi kimia dari berbagai jenis material seperti logam, kaca, keramik, bahan bangunan, untuk penelitian geokimia, ilmu forensik dan arkeologi (Sari, dkk., 2014: 156).



Gambar 2.9X-Ray Fluorescence (XRF)

XRF merupakan salah satu metode analisis yang tidak merusak sampel, dapat digunakan untuk analisis unsur dalam bahan secara kualitas dan kuantitas. Hasil analisis kualitatif ditunjukkan oleh puncak spektrum yang mewakili jenis unsur sesuai dengan energi sinar-X karakteristiknya, sedangkan analisis kuantitatif diperoleh dengan cara membandingkan intensitas sampel dengan standar. Prinsip

pengukuran XRF berdasarkan terjadinya proses eksitasi elektron pada kulit atom bagian dalam ketika atom suatu unsur tersebut dikenai sinar-X, kekosongan elektron tersebut akan diisi oleh elektron bagian luar dengan melepaskan energi yang spesifik untuk setiap unsur (Saksono, 2002: 92).

Kelebihan dari *X-Ray Fluorescences* (X-RF) yaitu dapat menganalisis mineral selain magnetit dan hematit serta mampu menutupi kekurangan dari IRM yang hanya dapat menganalisis mineral magnetit dan hematit serta dapat digunakan untuk menganalisis sampel tanpa merusak sampel tersebut. Sedangkan kekurangan dari alat ini yaitu sangat tergantung pada ukuran dan homogenitas sampel (Sari, 2016: 16).



BAB III

METODELOGI PENELITIAN

A. Tempat dan waktu penelitian

Penelitian telah dilaksanakan di Laboratorium Kimia Anorganik Fakultas Sains dan Teknologi Universitas Islam Negeri Alauddin Makassar, Laboratorium Politeknik Negeri Ujung Pandang untuk pengujian XRD dan Laboratorium MIPA Universitas Hasanuddin Makassar untuk pengujian XRF pada bulan Februari 2020- Juli 2020.

B. Alat dan bahan

1. Alat

Alat-alat yang digunakan pada penelitian ini *X-Ray Diffraction (XRD)*, *X-ray Fluorescence (XRF)*, *Global Positioning System (GPS)*, *sieve shaker*, timbangan digital, martil, lumpang dan alu, meteran, wadah tempat sampel dan label.

2. Bahan

Bahan yang digunakan pada penelitian ini yaitu aquades (H_2O) dan sampel batuan Kecamatan Tamalatea Kabupaten Jeneponto.

C. Prosedur kerja

1. Pengambilan Sampel

Lokasi pengambilan sampel yaitu di Kecamatan Tamalatea Kabupaten Jeneponto, Sulawesi Selatan. Sebelum sampel diambil terlebih dahulu menentukan titik-titik pengambilan sampel menggunakan *Global Position System (GPS)*. Kemudian mendapat 5 titik koordinat dengan kode T1-T5. Sampel T1 terdapat pada LS $05^0 37.867'$ dan BT $119^0 41.155'$, sampel T2 dengan titik koordinat LS $05^0 37.876'$ dan BT $119^0 41.152'$, sampel T3 yaitu LS $05^0 37.869'$ dan BT $119^0 41.163'$,

sampel T4 yaitu LS $05^{\circ} 37.860'$ dan BT $119^{\circ} 41.158'$, dan sampel T5 yaitu LS $05^{\circ} 37.868'$ dan BT $119^{\circ} 41.149'$. Selanjutnya mengukur jarak antar titik sampel, seperti titik 1 dan titik 2, titik 1 dan titik 3, titik 1 dan titik 4, titik 1 dan titik 5 dengan jarak 25 M. Setelah itu mengambil sampel batuan dalam bentuk bongkahan menggunakan palu geologi dengan kedalaman 50 cm dari permukaan tanah (Widiyastuti, 2016: 10-11).

2. Preparasi Sampel

Dibersihkan sampel batuan menggunakan aquades, selanjutnya dikeringkan selama 24 jam. Setelah kering, sampel batuan dihancurkan menggunakan martir menjadi beberapa serpihan kecil, kemudian serpihan batuan dihaluskan menggunakan lumpang dan alu menjadi serbuk yang lebih halus. Kemudian sampel dikeringkan dalam oven selama 1 jam pada suhu 100°C . Selanjutnya serbuk diayak menggunakan ayakan 230 mesh sampai diperoleh ukuran serbuk yang lebih kecil. Masing-masing sampel batuan ditimbang untuk dikarakterisasi menggunakan XRD dan XRF (Noviyanti, 2015: 172).

3. Karakterisasi

a. Metode *X-Ray Diffraction*

Proses karakterisasi menggunakan XRD untuk menentukan fasa mineral, struktur kristal dan ukuran kristal dari mineral CaCO_3 batuan (Andreas dan Andrian, 2018: 295). Sampel batu yang telah lolos ayakan 230 mesh dikeringkan dan ditimbang sebanyak 2 gram diukur dengan difraksi sinar-X. Kemudian dimasukkan ke dalam sampel holder untuk diuji menggunakan XRD (Darwanta, dkk, 2018: 37).

b. Metode *X-Ray Fluorescence*

Karakterisasi sampel menggunakan *X-Ray Fluorescence* untuk mengetahui komposisi dan konsentrasi unsur dari sampel mineral CaCO_3 batuan. Hal yang dilakukan yaitu dimasukkan sampel berukuran 230 mesh sebanyak 2 gram ke dalam holder, kemudian di analisis dengan XRF (Qodry dan Ardian, 2018: 248).



BAB IV

HASIL DAN PEMBAHASAN

A. Hasil Penelitian

1. Hasil Pengujian X-Ray Diffraction (XRD)

Karakterisasi mineral kalsium karbonat pada sampel batuan diambil 5 titik yang merujuk pada lampiran V disajikan dalam bentuk tabel seperti dibawah ini.

Tabel 4.1 Data Karakterisasi X-Ray Diffraction (XRD)

No	Sampel	Struktur Mineral CaCO ₃	Unit sel (Sumbu)
1	Sampel batuan T1	Trigonal (heksagonal akses)	a= 4.9900 Å c= 17.0615 Å
2	Sampel batuan T2	Trigonal (heksagonal akses)	a= 4.9758 Å c= 16.9921 Å
3	Sampel batuan T3	Trigonal (heksagonal akses)	a= 4.9844 Å c= 17.0376 Å
4	Sampel batuan T4	Trigonal (heksagonal akses)	a= 4.9874 Å c= 17.0506 Å
5	Sampel batuan T5	Trigonal (heksagonal akses)	a= 4.9758 Å c= 16.9921 Å

Tabel 4.2 Perbandingan data hasil pengukuran XRD T1 dengan database mineral

Data Hasil Pengukuran (2θ)	Database Mineral(2θ)	Jenis Mineral
10,73	10,76	Porpirazinealuminiumklorida (C ₁₆ AlClN ₁₆ S ₄)
11,06	11,17	Parmakosiderit (As ₃ Fe ₄ H ₁₈ O ₂₃)
26,66	26,66	Kuarsa (SiO ₂)
27,59	27,59	Kuarsa (SiO ₂)
35,58	35,57	Kalium (K)

Tabel 4.3 Perbandingan data hasil pengukuran XRD T2 dengan database mineral

Data Hasil Pengukuran (2θ)	Database Mineral (2θ)	Jenis Mineral
23,80	23,81	Litium Kobalt Nitrida(Co _{0.53} Li _{1.99} N)
27,55	27,69	Kuarsa (SiO ₂)
41,84	41,82	Nisnit(Ni ₃ Sn)
51,06	51,41	Tallium diniobium Pentaoksida fluoride (FNb ₂ O ₅ TI)

Tabel 4.4 Perbandingan data hasil pengukuran XRD T3 dengan database mineral

Data Hasil Pengukuran (2θ)	Database Mineral (2θ)	Jenis Mineral
26,59	26,64	Kuarsa (SiO ₂)
28,40	28,50	Aluminium Pospida (ALP)
28,87	28,9	Kalium (K)
34,64	34,68	Blossit (Cu ₂ O ₇ V ₂)

Tabel 4.5 Perbandingan data hasil pengukuran XRD T4 dengan database mineral

Data Hasil Pengukuran (2θ)	Database Mineral (2θ)	Jenis Mineral
10,83	10,84	Porpirazinealuminiumklorida (C ₁₆ AlClN ₁₆ S ₄)
21,14	21,14	Porpirazinealuminiumklorida (C ₁₆ AlClN ₁₆ S ₄)
27,07	27,6	Kuarsa (SiO ₂)
27,59	27,60	Parmakosiderit (As ₃ Fe ₄ H ₁₈ O ₂₃)
29,16	29,5	Alabandit (MnS)

Tabel 4.6 Perbandingan data hasil pengukuran XRD T5 dengan database mineral

Data Hasil Pengukuran (2θ)	Database Mineral (2θ)	Jenis Mineral
13,85	13,84	Sodalit (AlO ₄ P)
14,59	14,59	Tallium diniobium pentaoksida fluoride (FNb ₂ O ₅ TI)
23,82	23,82	Iron fluoride (F ₃ Fe)
27,57	27,55	Litium kobalt nitrida (Co _{0.53} Li _{1.99} N)

2. Hasil pengujian X-Ray Fluorescence (XRF)

karakterisasi sampel batuan menggunakan XRF menghasilkan komposisi kimia yang terkandung dalam batuan seperti pada lampiran VI yang disajikan dalam tabel dibawah ini

Table 4.7 Komposisi senyawa yang terkandung dalam batuan

Sampel	Jenis Mineral					
	CaO (%)	SiO ₂ (%)	Fe ₂ O ₃ (%)	Al ₂ O (%)	K ₂ O (%)	TiO ₂ (%)
T1	64,35	23,33	7,65	2,78	1,41	0,39
T2	58,84	25,40	7,76	4,29	2,98	0,61
T3	67,42	22,16	8,12	-	1,71	0,5
T4	60,01	25,93	8,89	1,98	2,30	0,77
T5	71,12	20,43	6,35	-	1,46	0,56

Table 4.8 Komposisi unsur yang terkandung dalam batuan

Sampel	Jenis Mineral					
	Ca (%)	Si (%)	Fe (%)	Al (%)	K (%)	Ti (%)
T1	46,01	10,91	5,35	1,47	1,17	0,23
T2	42,07	11,88	5,43	2,27	2,47	0,37
T3	48,20	10,36	5,68	-	1,42	0,3
T4	42,91	12,12	6,22	1,05	1,91	0,46
T5	50,85	9,55	4,44	-	1,21	0,34

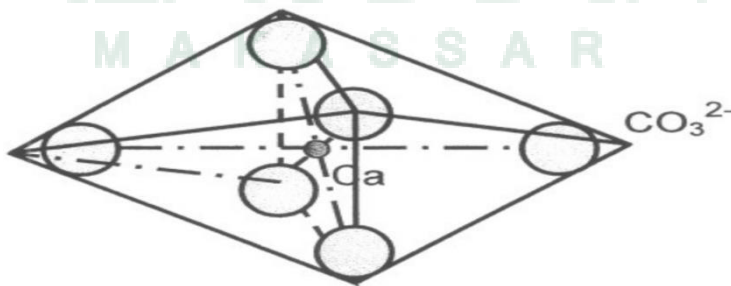
B. Pembahasan

Kalsium karbonat (CaCO₃) adalah senyawa yang terdapat dalam batuan kapur dalam jumlah besar dan sebagai sumber pembuatan senyawa kalsium terbesar secara komersial. Endapan halus CaCO₃ yang dibutuhkan industri ini dapat diperoleh secara kimia, sedang secara fisika hanya didapatkan batuan gamping saja (Risnojatiningasih, 2009: 39). Proses yang dilakukan untuk mendapatkan CaCO₃ dimulai secara fisika dengan melakukan pengambilan dan preparasi sampel batuan terlebih dahulu.

Sampel yang diuji dari penelitian ini terdiri dari 5 titik dengan melakukan plotting koordinat pada setiap titik sampel, pengambilan sampel batuan ini didasarkan pada kedalaman dan jarak titik sampel. Masing-masing sampel diambil pada kedalaman 50 cm dari permukaan tanah dan jarak titik sampel yaitu 25 M. Hal ini ditentukan dengan melihat kondisi wilayahnya. Preparasi sampel dilakukan dengan menghaluskan sampel menggunakan lumpang dan mengayaknya dengan menggunakan ayakan 230 Mesh agar ukuran butir tiap sampel sama sehingga lebih mudah melakukan analisa menggunakan XRD. Untuk mengetahui kandungan mineralnya dapat menggunakan alat *X-Ray Diffraction* (XRD) dan untuk mengetahui komposisi kimia dapat di uji dengan alat *X-Ray Fluorescence* (XRF).

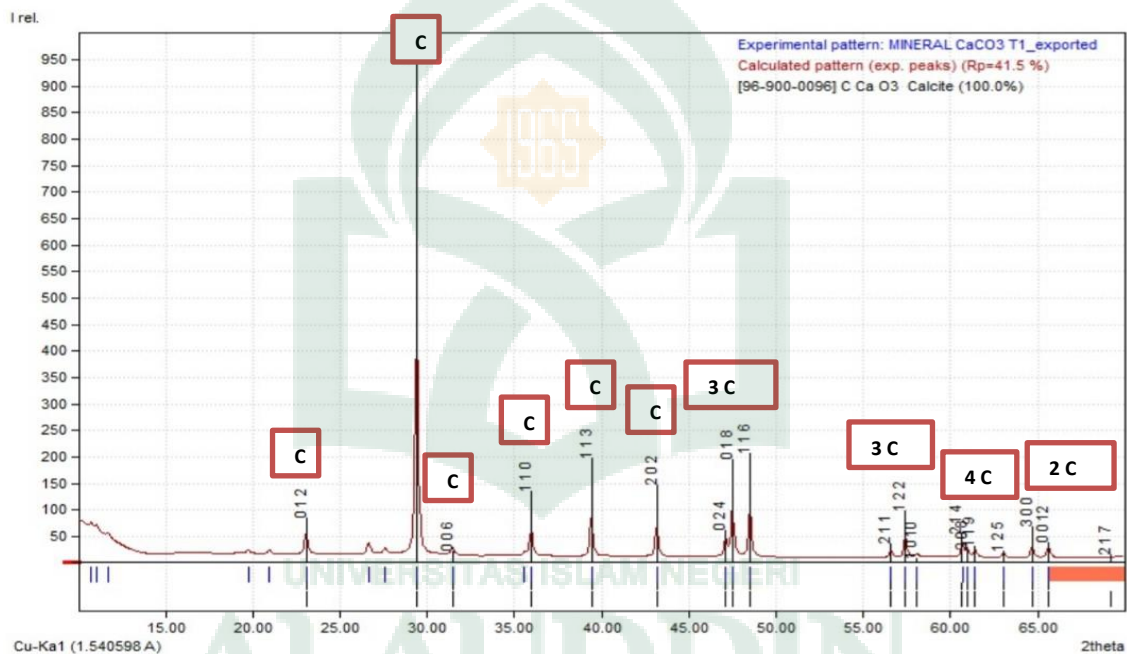
1. Data Karakterisasi XRD

Pada tabel 4.1 diuraikan struktur mineral kalsit beserta unit sel atau parameter kisinya. Sistem kristalnya berbentuk trigonal atau heksagonal sistem. Sampel batuan T1-T5 memiliki nilai sumbu a dan c yang tidak jauh berbeda. Nilai unit sel hasil pengukuran dengan database mineral hampir sama yaitu nilai a untuk mineral kalsit yaitu 49896 Å dan nilai c yaitu 17.0610 Å yang artinya sifat sumbu $a=b \neq c$ dengan sudut $\alpha = \beta = 90^\circ$, $\gamma = 120^\circ$.



Gambar 4.1 Struktur Kristal Kalsit
(Sumber: Djuhariningrum dan Rusmadi, 2004)

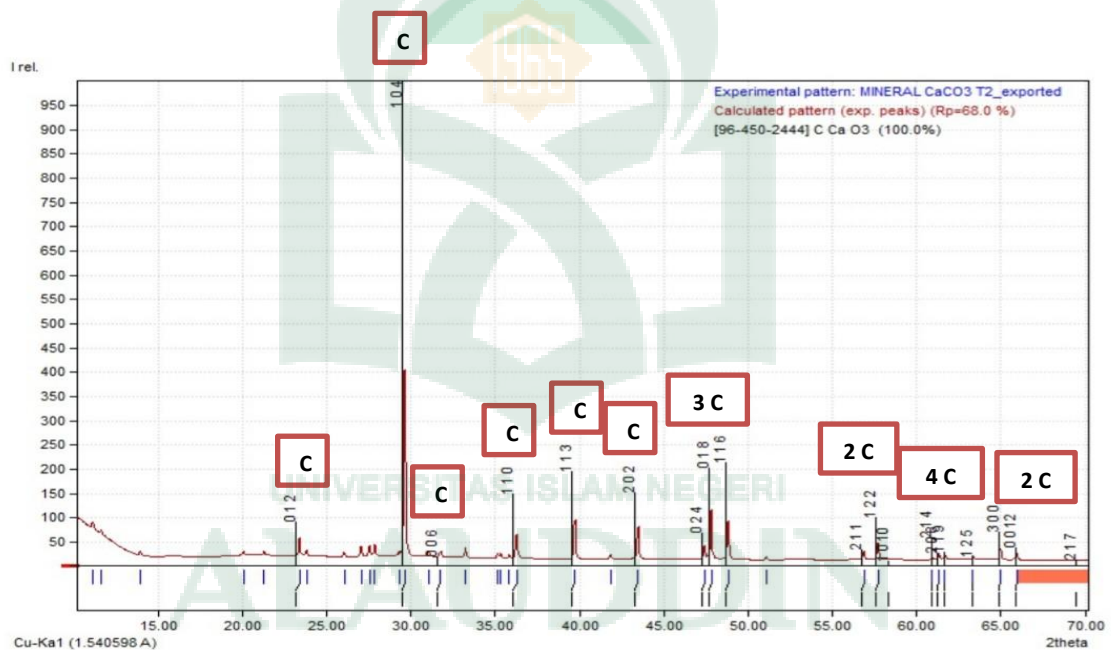
Mineral kalsit (CaCO_3) tidak memiliki pasangan elektron bebas (PEB) dan memiliki 5 pasangan elektron ikatan (PEI) dan hibridisasi orbital berada pada sp^3 sehingga struktur molekulnya berbentuk trigonal. Mineral CaCO_3 terdiri dari atom Ca dan CO_3^{2-} , yang mana Ca merupakan atom pusat yang dikelilingi oleh CO_3^{2-} yang membentuk CaCO_3 (Djuhariningrum dan Rusmadi, 2004: 338). Di bawah ini dapat dilihat pola difraksi mineral kalsit pada sampel batuan.



Grafik 4.1 Pola Difraksi XRD Sampel Batuan T1

Hasil pengukuran XRD pada sampel batuan T1 memperlihatkan fasa yang dominan terbentuk yaitu kalsit (CaCO_3) dan terdapat 18 puncak kalsit yang terdeteksi, dilihat dari grafik puncak yang dihasilkan pada sudut 2θ menunjukkan puncak yang tinggi dan tajam serta strukturnya dalam bentuk kristal bukan amorf, hal ini dikarenakan grafik 4.1 memiliki puncak yang jelas yang menunjukkan atom tersusun secara teratur sehingga susunannya menunjukkan bahwa mineral kalsit dalam bentuk kristal.

Selain itu terdapat pula jenis mineral lainnya yang terkandung dalam sampel batuan T1, penentuan jenis mineral ini dapat diidentifikasi dengan membandingkan sudut 2θ hasil pengukuran XRD dengan database mineral yang telah diuraikan dalam tabel 4.2. Jenis mineral lain yang terkandung dalam sampel batuan T1 terdiri dari mineral porpirazinealuminiumklorida, parmakosiderit, kuarsa dan kalium. Mineral Porpirazinealuminiumklorida terdeteksi pada sudut $10,73^\circ$, Parmakosiderit pada sudut $11,06^\circ$, kuarsa pada sudut $26,66^\circ$ dan kalium pada sudut $35,58^\circ$.

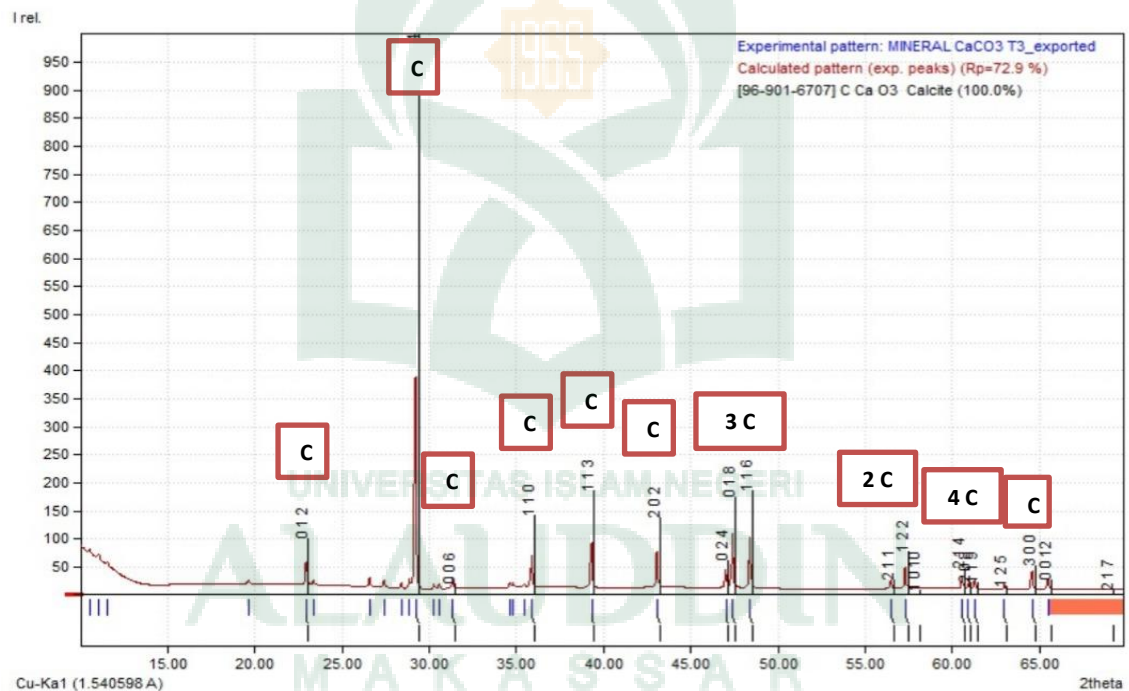


Grafik 4.2 Pola Difraksi XRD Sampel Batuan T2

Grafik 4.2 menunjukkan hubungan antara intensitas dengan sudut difraksi sehingga terbentuk puncak-puncak dengan sudut tertentu. Berdasarkan hasil analisa kualitatif menggunakan *Search-Match* terdapat 17 puncak yang cocok dengan bentuk fasa kalsit (CaCO_3) yang dimulai dari sudut 2θ $23,06^\circ$ - $65,62^\circ$. Sama halnya dengan

grafik 4.1 puncak yang dihasilkan pada sudut 2θ juga menunjukkan puncak mineral ini termasuk jenis fase kristal.

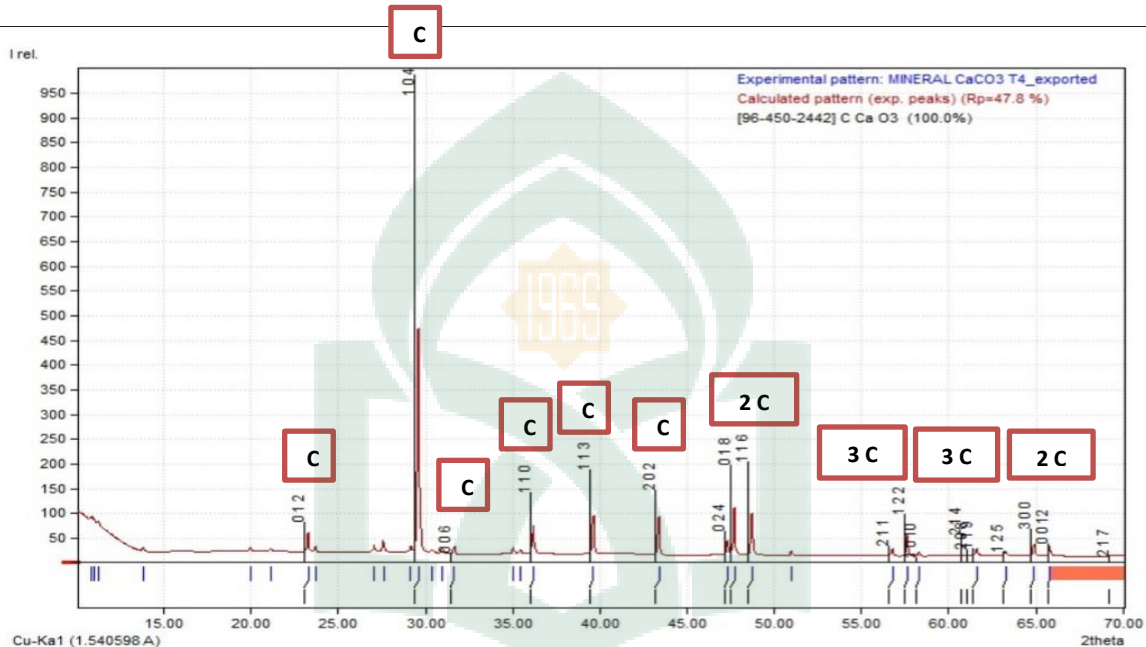
Terdapat kandungan mineral lain dalam sampel batuan T2 seperti yang terlihat pada tabel 4.3 dapat diperoleh dengan membandingkan nilai sudut difraksi (2θ). Berdasarkan pengukuran sudut difraksinya yang paling mendekati dengan database mineral sehingga disimpulkan bahwa pada T2 mengandung mineral lain seperti litium kobalt nitrida, kuarsa, nisnit, dan talium diniobium pentaoksida fluorida.



Grafik 4.3 Pola Difraksi XRD Sampel Batuan T3

Pola difraksi XRD sampel batuan T3 memperlihatkan fasa yang terbentuk yaitu kalsit (CaCO_3), dilihat pada grafik 4.3, puncak yang terdeteksi sebagai fasa kalsit yaitu 16 puncak. Grafik tersebut menunjukkan hubungan intensitas dengan sudut 2θ , jika nilai intensitasnya tinggi maka termasuk puncak tertinggi. Puncak yang tinggi dan tajam menandakan mineral kalsit memiliki fase berbentuk kristal.

Selain mengandung mineral kalsit, terdapat mineral lain yang terkandung dalam sampel batuan T3 seperti mineral kuarsa, aluminum pospida, kalium dan blossomit. Jenis mineral ini dapat diketahui dengan membandingkan sudut difraksi database mineral dan database pengukuran seperti yang terlihat pada tabel 4.4.

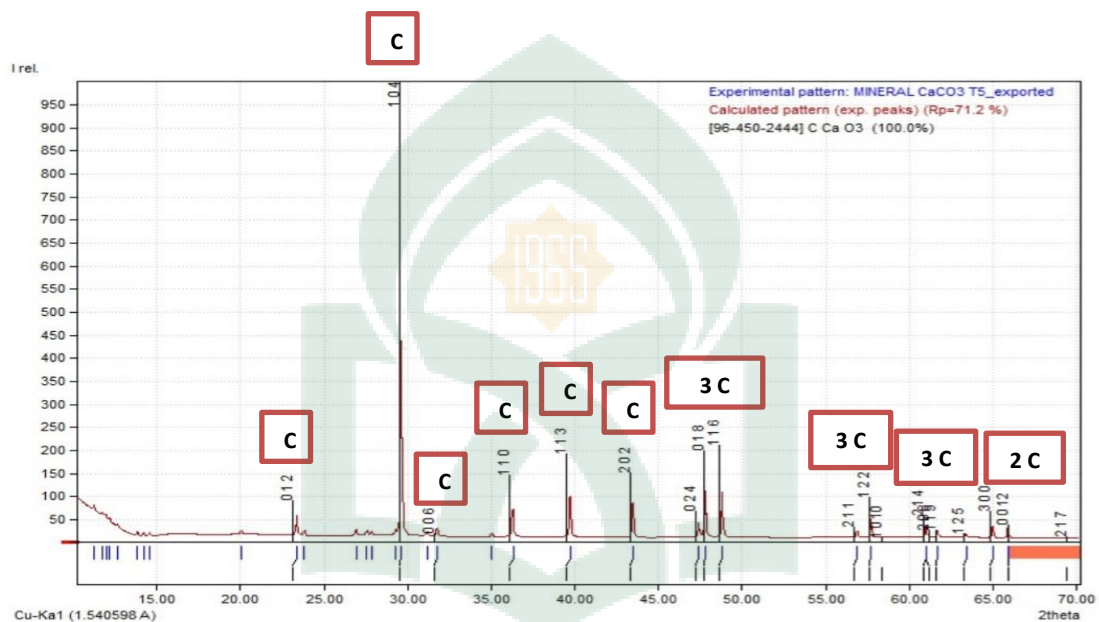


Grafik 4.4 Pola Difraksi XRD Sampel Batuan T4

Berdasarkan grafik 4.4 hasil XRD batuan T4 menunjukkan fasa yang terbentuk yaitu kalsit (CaCO_3), dilihat pada grafik 4.4 puncak yang dihasilkan pada sudut 2θ menunjukkan puncak yang tinggi dan tajam sehingga mineralnya termasuk fasa kristal. Kandungan mineral lain pada batuan T4 dapat diketahui dengan membandingkan sudut difraksi data hasil pengukuran dengan database mineral seperti pada tabel berikut.

Tabel 4.5 menunjukkan jenis mineral lain yang terdapat dalam sampel batuan selain mineral kalsit. Jenis mineral tersebut seperti Porpirazinealuminiumklorida

yang terdeteksi pada sudut 10,83 dan 21,14, mineral kuarsa pada sudut 27,07, mineral parmakosiderit pada sudut 27,59 dan pada sudut 29,16 terdeteksi alabandit.



Grafik 4.5 Pola Difraksi XRD Sampel Batuan T5

Hasil pengukuran XRD sampel batuan T5 memperlihatkan puncak yang dihasilkan pada sudut 2θ menunjukkan puncak yang tinggi dan tajam, sehingga dikategorikan sebagai fasa kristal kalsit. Terdapat 17 puncak yang terbentuk sebagai mineral kalsit.

Berdasarkan perbandingan data hasil pengukuran XRD dengan database mineral, maka diperoleh jenis mineral lain yaitu sodalit, talium diniobium pentaoksida fluorida, iron fluorida, dan litium kobalt nitrida.

Karakterisasi XRD batuan T1-T5 memiliki kesamaan yaitu semua titik terdapat kandungan mineral kalsit dan kuarsa. Batuan T1 memiliki kandungan

mineral yang hampir sama dengan batuan T4, sedangkan batuan T2 memiliki jenis mineral hampir sama dengan batuan T5. Hal ini disebabkan karena setiap sampel diambil dilokasi yang sama dengan berbagai titik.

2. Data Karakterisasi XRF

Analisis menggunakan XRF digunakan untuk mengetahui komposisi dan konsentrasi unsur yang terkandung dalam suatu batuan mineral. Berdasarkan karakterisasi menggunakan XRF pada sampel batuan T1, T2, T3, T4, dan T5 dihasilkan komposisi kimia penyusun batuan yang dominan yaitu unsur kalsium (Ca) masing-masing sebanyak 46,01%, 42,07%, 48,20%, 42,91%, dan 50,85%. Kandungan kalsium yang dominan inilah yang menyebabkan sampel batuan T1-T5 termasuk mineral kalsit yang berwarna putih dan putih krem atau pucat. Secara umum mineral kalsit memiliki warna yang bermacam-macam yaitu yang murni tidak berwarna, putih, putih krem, coklat, kuning atau kehijauan (Sukandarrumidi, 2018: 58).

Kandungan kalsium yang tinggi juga menandakan bahwa batuan ini termasuk dalam jenis batuan sedimen yaitu batu gamping atau kapur, yang mana batuan ini terdapat di alam dalam jumlah banyak dalam bentuk mineral kalsit (Megawati, 2019: 105).

Batu gamping mengandung kalsit yang tersusun oleh unsur Ca. Pada table periodik Ca pada golongan alkali tanah. unsur Ca mempunyai konfigurasi elektron pada blok S^2 dan mudah membentuk ion sehingga dapat membentuk asosiasi unsur. Di alam unsur Ca tidak stabil, sedangkan pada kondisi stabil dalam bentuk ion Ca^{2+} .

Pada proses geokimia sebagian besar unsur Ca bersenyawa dengan unsur C dan O, maka terbentuk mineral kalsit (Djuhariningrum dan Rusmadi, 2004: 334).

Selain itu terdapat pula unsur yang lain di dalam sampel batuan seperti sampel batuan T1, T2, dan T4 terkandung unsur silika (Si), besi (Fe), kalium (K), aluminium (Al) dan titanium (Ti). Sampel batuan T3 dan T5 juga mengandung unsur-unsur tersebut kecuali unsur aluminium. Hasil karakterisasi sampel menunjukkan bahwa kelima titik sampel memiliki komposisi kimia yang hampir sama.

Hasil karakterisasi menggunakan XRF pada kelima titik sampel juga menghasilkan senyawa oksida yang paling dominan yaitu Kalsium oksida (CaO) 58,84 - 71,12%. Perbedaan konsentrasi senyawa CaO dan unsur Ca disebabkan karena pada senyawa CaO, unsur Ca berikatan dengan senyawa oksida sehingga memiliki nilai konsentrasi yang tinggi dibandingkan unsur Ca yang berdiri sendiri. Senyawa CaO terbentuk melalui ikatan ion, yang mana terbentuk dari pasangan antara anion dan kation melalui serah terima elektron. Unsur Ca melepaskan 2 elektron agar dapat stabil, sedangkan unsur O membutuhkan 2 elektron agar dapat stabil. Sehingga jika Ca dan O berikatan akan membentuk ikatan ionik.

Selain itu terdapat pula senyawa oksida lainnya seperti Silika oksida (SiO_2) 20,43 - 25,93%, Besi(III) oksida (Fe_2O_3) 6,35 - 8,89%, Aluminium oksida (Al_2O_3) 1,98 - 4,29%, Kalium oksida (K_2O) 1,41-2,98%, dan Titanium dioksida (TiO_2) 0,50 - 0,56%. Silika oksida terbentuk melalui ikatan kovalen rangkap 2, sedangkan Fe_2O_3 , Al_2O_3 , K_2O , dan TiO_2 terbentuk melalui ikatan ionik.

BAB V

PENUTUP

A. Kesimpulan

Kesimpulan dari penelitian ini yaitu karakterisasi menggunakan XRD menghasilkan fasa mineral dan struktur kristal pada lima titik sampel batuan. Sampel batuan T1-T5 memiliki fasa mineral kalsit dan struktur kristal trigonal (heksagonal akses). Selain itu terdapat pula jenis mineral lain yang terdeteksi seperti pada sampel batuan T1-T5 juga mengandung mineral kuarsa, porpirazinealuminiumklorida, dan pharmakosiderite, litium kobalt nitrida, tallium diniobium pentaoksida fluorida, nisnit, biossit, aluminium pospida, kalium,alabandit, sodalit, dan iron fluorida. Karakterisasi menggunakan XRF menghasilkan kandungan serta komposisi kimia sampel batuan. Komposisi kimia pada sampel batuan T1-T5 yang paling dominan yaitu unsur kalsium (Ca) dengan range 42,07%-50,85%.Senyawaoksida yang paling dominanyaitu Kalsium oksida (CaO)sebanyak 58,84% - 71,12%.

B. Saran

Saran yang diberikan untuk penelitian selanjutnya yaitu disarankan untuk menggunakan *Scanning Electron* Microscope (SEM) dalam pengujian sampel agar dapat diketahui bentuk morfologi batuan sedimen.

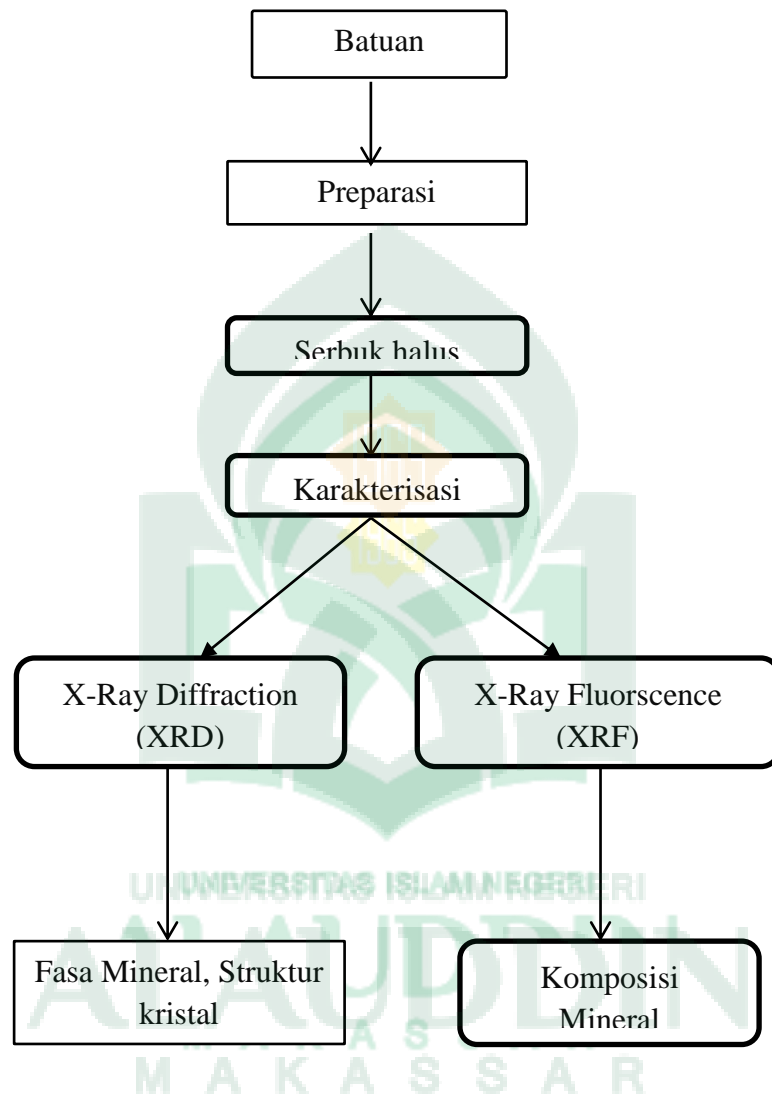
DAFTAR PUSTAKA

Al-Qur'an Al-Karim.

- Achmad, Amran. *Rahasia Ekosistem Hutan Bukit Kapur*. Surabaya: Brillian Internasional, 2011.
- Adler, John. "Pengaruh Matriks dan Porositas Batuan Karbonat Formasi Parigi, Palimanan-Cirebon" *Ilmiah Unikom* 9, no. 1 (2011): h. 51-60.
- Alger, Mark S.M. *Polymer and Science Dictionary*. London and New York: Elsevier Applied Science, 1989.
- Al-Hafidzh Ibnu Katsir Al-Dimasqyy, Abi Fada, *Tafsir Ibnu Katsir Jilid 5*. Bogor: Pustaka, 2003.
- Andrade, Fabio Ramos Dias De, Valdecir De Assis Janasi, dan Flavio Machado De Souza Carvalho. "Volcanic Glass in Cretaceous Dacites and Rhyolites of the Parana Magmatic Province, Southern Brazil: Characterization and Quantification by XRD-Rietveld" *Volcanology and Geothermal*. (2016): h. 1-42.
- Andreas, Alexandros dan Ardian Putra. "Perbandingan Karakterisasi Batuan beku Erupsi Gunung Gamalama dan Gunung Talang" *Fisika Unand* 7, no. 4 (2018): h. 293-298.
- Apriani, Nurul Fitria, Malik A Baqiya dan Darminto. "Pengaruh Penambahan larutan $MgCl_2$ pada Sintesis Kalsium Karbonat Presipitat Berbahan dasar Batu Kapur dengan Metode Karbonisasi" *Sains dan Seni* 1, no. 1 (2012): h. 30-34.
- Ardiansyah, Muhammad, Meutia Farida dan Ulva Ria Irfan. "Studi Provenance Batu Pasir Formasi Walanae Daerah Lalebata Kecamatan Lamuru Kabupaten Bone Provinsi Sulawesi Selatan" *Geosains* 11, no. 1 (2015): h. 13-18.
- Bapeda Kabupaten Jeneponto. *Rencana Induk Sistem Penyediaan Air Minum (RISPM) Kabupaten Jeneponto Provinsi Sulawesi Selatan*. 2017.
- Darwanta, Sriyanto, dan November Ekber Manyerom. "Karakterisasi Material Batu Asap dari Pantai Kampung Area Kabupaten Sarmi-Papua" *Kimia* 2, no. 1 (2018): h. 36-41.
- Djuhariningrum, Tyas dan Rusmadi. "Penentuan Kalsit dan Dolomit Secara Kimia dalam Batu Gamping dari Madura" *Geologi* (2004): h. 332-344.
- Fitriani "Identifikasi Kandungan Mineral Sumber Air Panas di Desa Wotu Toa Kecamatan Marioriwawo" *Skripsi*. Jurusan Fisika Fakultas SAINTEKUIIN Alauddin Makassar, 2017.
- Haris, Abdul, Bunga Dara Amin, dan A. Momang. "Sintesis Dan Karakterisasi Pyrite (Fes_2) Dari Deposit Mineral Kecamatan Bontocani, Kabupaten Bone, Sulawesi Selatan" *Sains dan Pendidikan Fisika* 10, no. 3 (2014): h. 263-268.
- Haryanto, Iyan. "Geologi dan Potensi Bahan Galian Bijih Besi Daerah Aceh barat Daya" *Scientific* 5, no. 3 (2007): 152-159.

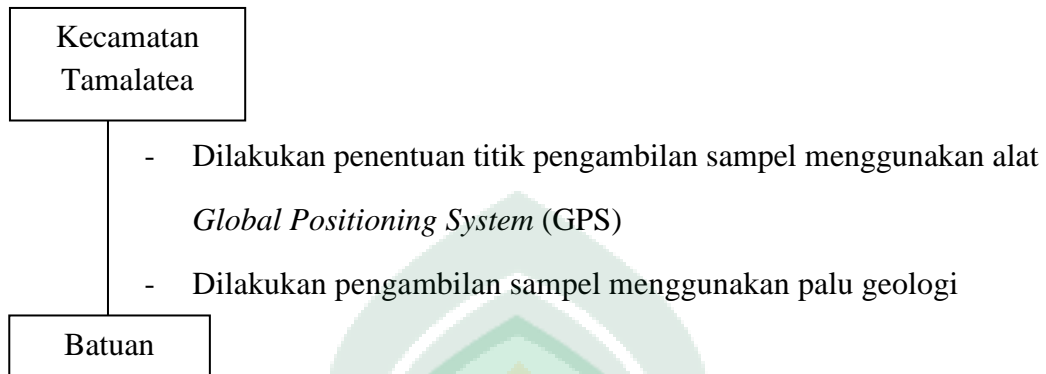
- Hupp, Brittany N dan Joseph J. Donovan. "Quantitative Mineralogy for Facies Definition in the Marcellus Shale (Appalachian Basin, USA) using XRD-XRF Integration" *Sedimentary Geology*. (2018): h. 1-56.
- Hwidi, Rajeb Salem, Tengku Nuraiti Tengku Izhar, dan Farah Mohd Saad.. "Characterization of Limestone as Raw Material to Hydrated Lime" *Cenviron* 34, no. 2 (2018): h. 1-6.
- Israwaty, Ila. "Studi Pemisahan Emas dari Batuan Bijih Emas Asal Daerah Poboyo (Sulawesi Tengah) dengan Menggunakan Teknik Flotation and Sink dengan Media Tetrabromoetana (TBE)" *Chemical* 14, no. 1 (2013): h. 84-90.
- Kementrian Agama RI. Al-Qur'an dan Terjemahnya, 2013.
- Lailiyah, Qudsiyyatul, Malik A Baqiyah dan darminto. "Pengaruh Temperatur dan Laju Aliran gas CO₂ pada Sintesis Kalsium Karbonat Presipitat dengan Metode Bubbling" *Sains dan Seni* 1, no. 1 (2012): h. 6-10.
- Margareta, Mailinda Ayu hana, Abdullah Fuad, Siti Alfiah Imiawati, dan Surjani Wonorahardjo. Sintesa Hydroxyapatite (Ca₁₀(PO₄)₆(OH)₂) Berbasis Batu Kapur. *Penelitian Fisika dan Aplikasinya (JPFA)* 5, no. 1(2015).
- Makfiroh, Siti. "Mineral Prospect In Simpang Tiga Aceh Besar" *Physics Society* 1, no. 1 (2012): h. 5-6.
- Miura, Y. *Formation of CaCO₃ by Natural and Artifical Shockware Impact*. Japan: Yamaguchi University, 2007.
- Moe'tamar. "Eksplorasi Umum Pasir Besi di Daerah Kabupaten Jeneponto, Provinsi Sulawesi Selatan" *Proceeding*, (2008): 1-15.
- Mukarrom, Faisol. *Ekonomi Mineral Indonesia*. Yogyakarta: Penerbit Andi, 2017.
- Munasir, Triwikantoro, M. Zainuri, dan Darminto. "Uji XRD dan XRF pada Bahan Mineral (Batuan dan Pasir) sebagai Sumber Material Cerdas (CaCO₃ dan SiO₂)" *Penelitian Fisika dan Aplikasinya* 2, no. 1 (2012): 20-29.
- Munawaroh, F, L K Muharrami, T Triwikantoro, dan Z Arifin. "Characterization of Limestone in Pamekasan Madura Island as Raw Material for Producing Nano Precipitated Calcium Carbonate (NPCC)" *IOP Publishing* 395, noo. 1 (2018): h. 1-5.
- Nandi. *Handouts Geologi Lingkungan*. Bandung: Universitas Pendidikan Indonesia Press, 2010.
- Noor, Djauhari. *Pengantar Geologi*. Bogor: Universitas Pakuan, 2009.
- Noviyanti, Jasruddin, dan Eko Hadi Sujiono. *Karakterisasi Kalsium Karbonat (Ca(Co₃)) dari Batu Kapur Kelurahan Tellu Limpoe Kecamatan Suppa*. Sains dan Pendidikan Fisika 11, no. 2(2015): 169-172.
- Qodry, Rahmat Ravvi dan Ardian Putra. "Studi Alterasi Hidrotermal dan Mineralisasi Batuan di Sekitar Mata Air Panas Garara Bukit Kili, Kabupaten Solok, Sumatera Barat" *Fisika Unand* 7, no. 3 (2018): h. 246-252.
- Purasonangka, Novianti Wahyuni, Ildrem Syafri dan Lia Jurnaliah. "Karakterisasi batuan Sedimen Berdasarkan Analisis Petrografi pada Formasi kalibeng Anggota Banyak" *Scientific* 12, no. 1 (2015): h. 1-15.

- Saksono, Nelson. "Analisis Iodat dalam Bumbu Dapur Metode Iodometri dan *X-Ray Floresence*" *Teknologi* 6, no. 3 (2002): 89-94.
- Santika, Ahmad Widia dan Dedi Mulyadi. "Geokimia Batugamping Daerah Montong, Tuban, Jawa Timur" *Riset geologi dan Pertambangan* 27, no. 2 (2017): h. 227-238.
- Sari, Rindang Kembar. "Potensi Mineral Batuan Tambang Bukit 12 dengan Metode XRD, XRF dan AAS". *Eksakta* 2 (2016): h. 13-23.
- Sari, Widya Puspota, Dedi Sumantri, Dian Noviyanti Agus Imam, dan Siti Sunarintyas. "Pemeriksaan Komposisi Glass Fiber Komersial dengan teknik *X-Ray Fluorescence Spectrometer (XRF)*" *B-Dent* 1, no. 2 (2014): h. 156-162.
- Sapiie, B., N.A. Magetsari, A.H.Harsolumakso, dan C.I. Abdullah. *Geologi Fisik*. Bandung: ITB Press, 2006.
- Setiabudi, Agus, Rifan Hardian dan Ahmad Muzakir. *Karakterisasi Material Prinsip dan Aplikasi dalam Penelitian Kimia*. Bandung: UP Press, 2012.
- Shihab, M. Quraish. *Tafsir Al-Misbah Pesan Kesan dan Keserasian Al-Quran*. Jakarta: Lentera Hati, 2009.
- Smallman dan Bishop. *Metalurgi Fisik Modern dan Rekayasa Material*. Jakarta: Erlangga, 2000.
- Suhardin, Akbar, M. Syahrul Ulum, dan Darmawati Darwis. "Penentuan Komposisi serta Suhu Kalsinasi Optimum CaO dari Batu Kapur Kecamatan Banawa" *Science and Technology* 7, no. 1 (2018): h. 30-35.
- Sujawarta dan Astuti, Budi. *Sensor Ofet Berbasis Film Tipis untuk Deteksi Gas Beracun*. Yogyakarta: Deepublish, 2015.
- Sukandarrumidi. *Bahan Galian Industri*. Yogyakarta : Gadjah Mada University Press, 1998.
- Taylor, Barbara. *Intisari Ilmu Batuan, Mineral dan Fosil*. Jakarta: Erlangga, 2001.
- Tutu, Rais dkk. "Studi Analisis Karakterisasi dan Mikrostruktur Mineral Sedimen Sumber Air Panas Sulili di Kabupaten Pinrang" *Sains dan Pendidikan Fisika* 11, no. 2 (2015): h. 192 – 201.
- Wicaksono, Danang Dwi, Nugrho Imam Setiawan, Wahyu Wilopo, dan Agung Harijoko.. "Teknik Preparasi Sampel dalam Analisis Mineralogi dengan XRD (*X-Ray Diffraction*) di Departemen Teknik Geologi, Fakultas Teknik, Universitas Gadjah Mada" *Proceeding* (2017): h. 1864-1880.
- Widiyastuti, Dewi Amalia. "Analisa Struktur Batuan dari Sungai Aranio Kabupaten Banjar Menggunakan *X-Ray Diffraction*" *Polhasains* 4, no. 1 (2016): h. 8-14.

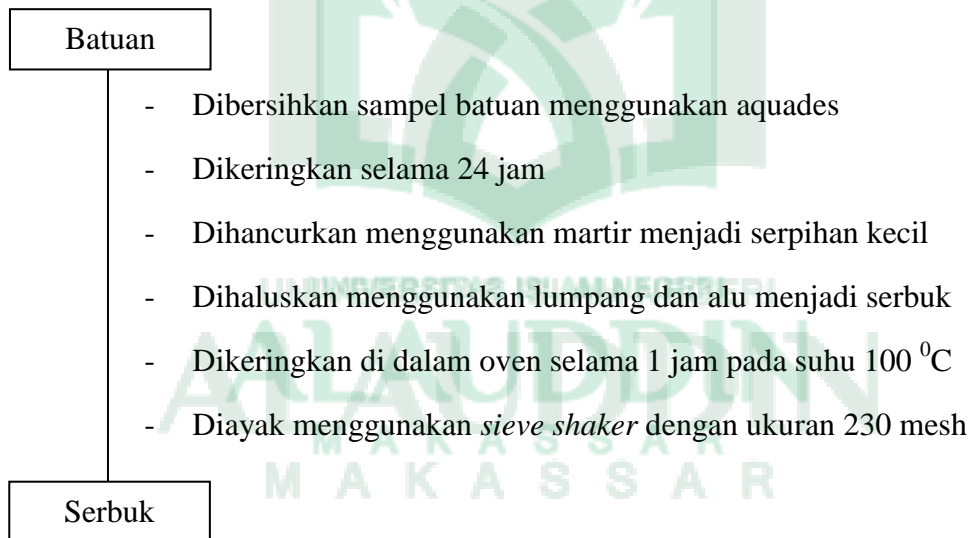
Lampiran I: Skema Penelitian

Lampiran II: Skema Kerja

1. Pengambilan Sampel

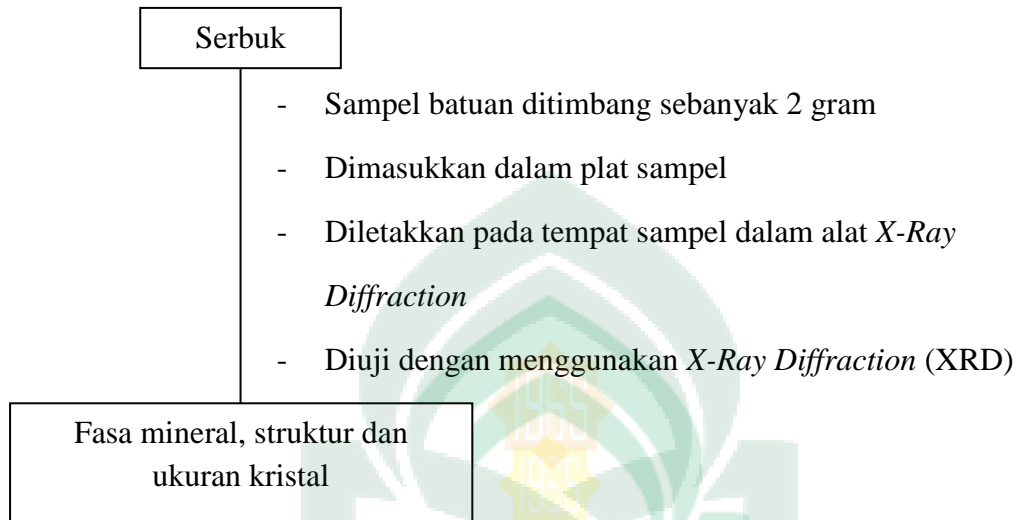


2. Preparasi Sampel

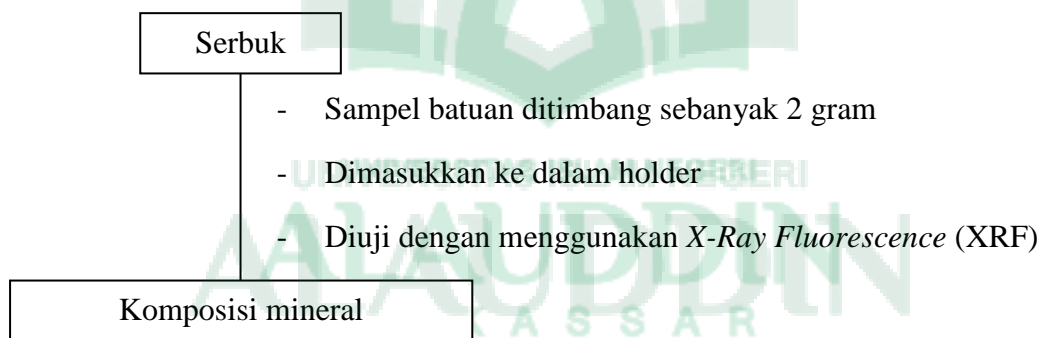


3. Karakterisasi

a. *X-Ray Diffraction*(XRD)



b. *X-Ray Fluorescence* (XRF)



Lampiran III: Peta Lokasi Sampel



Keterangan

- Titik 1 (LS $05^0 37.867'$ dan BT $119^0 41.155'$) (Titik tengah)
- Titik 2 (LS $05^0 37.876'$ dan BT $119^0 41.152'$ dan Jarak T1-T2 = 25 M)
- Titik 3 (LS $05^0 37.869'$ dan BT $119^0 41.163'$ dan Jarak T1-T3 = 25 M)
- Titik 4 (LS $05^0 37.860'$ dan BT $119^0 41.158'$ dan Jarak T1-T4 = 25 M)
- Titik 5 (LS $05^0 37.868'$ dan BT $119^0 41.149'$ dan Jarak T1-T5 = 25 M)

Lampiran IV: Dokumentasi Penelitian

1. Pengambilan Sampel

Menentukan titik sampel menggunakan *Global Position System* (GPS)

Titik 1



Titik 2



Titik 3



Titik 4



Titik 5



Mengambil sampel dengan kedalaman 50 cm di atas permukaan tanah



Titik 1



Titik 2



Titik 3



Titik 4



Titik 5

2. Preparasi Sampel



Dibersihkan sampel batuan dengan aquades dan dikeringkan



Dihancurkan menggunakan martir menjadi serpihan kecil



Dihaluskan menggunakan lumping dan alu



Dioven pada suhu 100 °C



Diayak menggunakan sieve shaker dengan ukuran



Sampel siap dikarakterisasi menggunakan XRD dan XRF

3. Karakterisasi

a. Metode *X-Ray Diffraction* (XRD)



b. Metode *X-Ray Fluorescence* (XRF)



Lampiran V: Hasil X-Ray Diffraction XRD

Match! Phase Analysis Report

Sample: MINERAL CaCO3 T1_exported

Sample Data

Filename MINERAL CaCO3T1_exported.xy
 Filepath E:/PNUP/XRD
 Datacollected Mar 4, 202022:29:21
 Datarange 9.962° -69.968°
 Numberofpoints 1189
 Stepsize 0.051
 Rietveldrefinementconverged No Alpha2subtracted Yes
 Backgroundsubtr. No
 Datasmoothed No
 2thetacorrection -0.04°
 Radiation X-rays
 Wavelength 1.540598Å

Matched Phases

Index	Amount (%)	Name	Formula sum
A	100.0	Calcite	C Ca O3
	14.6	Unidentified peak area	

A: Calcite (100.0 %)

Formula sum C CaO3
 Entry number 96-900-0096
 Figure-of-Merit(FoM) 0.978701
 Total number of peaks 43
 Peaks in range 18
 Peaks matched 18
 Intensity scale factor 0.98
 Space group R -3c
 Crystal system trigonal (hexagonal axes)
 Unit cell a=4.9900Å c=17.0615Å
 I/lcor 3.48
 Calc. density 2.709g/cm³
 Reference Graf D.L., "Crystallographic tables for the rhombohedral carbonates", American Mineralogist
 46, 1283-1316 (1961)

Candidates

Name	Formula	Entry No.	FoM
Silicon oxide - β -alpha (Quartz low)	O2 Si	96-101-1177	0.7115
Si O2	O2 Si	96-152-6861	0.7096
Potassium	K	96-901-1974	0.7014
Silicon oxide (Quartz low)	O2 Si	96-101-1160	0.6936
	O2 Si	96-710-3015	0.6926
Silicon oxide (Quartz)	O2 Si	96-500-0036	0.6853
Silicon oxide β -alpha (Quartz low)	O2 Si	96-101-1173	0.6824
Silicon oxide β -alpha (Quartz low)	O2 Si	96-101-1098	0.6808
Quartz	O2 Si	96-901-3322	0.6785
Si O2	O2 Si	96-153-2513	0.6784
	O2 Si	96-210-0189	0.6759
Quartz	O2 Si	96-901-2601	0.6752
Quartz	O2 Si	96-900-9667	0.6680
	O2 Si	96-230-0371	0.6618

	Ga O4 P	96-151-8036	0.6428
Si O2	O2 Si	96-153-6390	0.6328
Be F2	Be F2	96-153-1932	0.6249
Porphyrazinealuminiumchloride	C16 Al Cl N16 S4	96-430-9965	0.6182
	Au Nd Sb	96-412-3311	0.6140
Hydrogen bromide	Br H	96-101-0387	0.6093
Helvine	Be3 Mn4 O12 S Si3	96-900-8378	0.6083
	C Cl N2 S2	96-701-1348	0.6008
Pharmacosiderite	As3 Fe4 H18 O23	96-901-2921	0.6006
Li3 B14	B14 Li3	96-151-1410	0.6005

Search-Match

Settings

Referencedatabaseused	COD-Inorg REV1734452016.01.04
Automaticzeropointadaptation	Yes
Minimumfigure-of-merit(FoM)	0.60
2theta window forpeakcorr.	0.30 deg.
Minimum rel. int. forpeakcorr.	1
Parameter/influence2theta	0.50
Parameter/influenceintensities	0.50
Parameter multiple/single phase(s)	0.50

Peak List

No.	2theta[°]	d[Å]	I/I0	FWHMMatched	
1	10.73	8.2415	19.57	0.2020	
2	11.06	7.9964	21.48	0.2020	
3	11.72	7.5430	16.74	0.2020	
4	19.73	4.4968	15.70	0.2020	
5	20.95	4.2379	14.51	0.2020	
6	23.06	3.8532	90.64	0.2020	A
7	26.66	3.3413	47.23	0.2020	
8	27.59	3.2305	23.59	0.2020	
9	29.41	3.0347	1000.00	0.2020	A
10	31.45	2.8425	30.32	0.2020	A
11	35.58	2.5211	12.54	0.2020	
12	35.98	2.4944	112.34	0.2020	A
13	39.42	2.2841	163.57	0.2020	A
14	43.17	2.0940	130.60	0.2020	A
15	47.12	1.9271	67.49	0.2020	A
16	47.52	1.9119	205.00	0.2020	A
17	48.52	1.8749	182.49	0.2020	A
18	56.58	1.6254	32.53	0.2020	A
19	57.41	1.6037	82.33	0.2020	A
20	58.08	1.5870	14.25	0.2020	A
21	60.69	1.5247	50.08	0.2020	A
22	60.97	1.5184	32.15	0.2020	A
23	61.40	1.5087	30.00	0.2020	A
24	63.04	1.4735	22.26	0.2020	A
25	64.68	1.4399	48.45	0.2020	A
26	65.62	1.4216	46.75	0.2020	A

Rietveld Refinement using FullProf

Calculation was not run or did not converge.

Integrated Profile Areas

Based on calculated profile

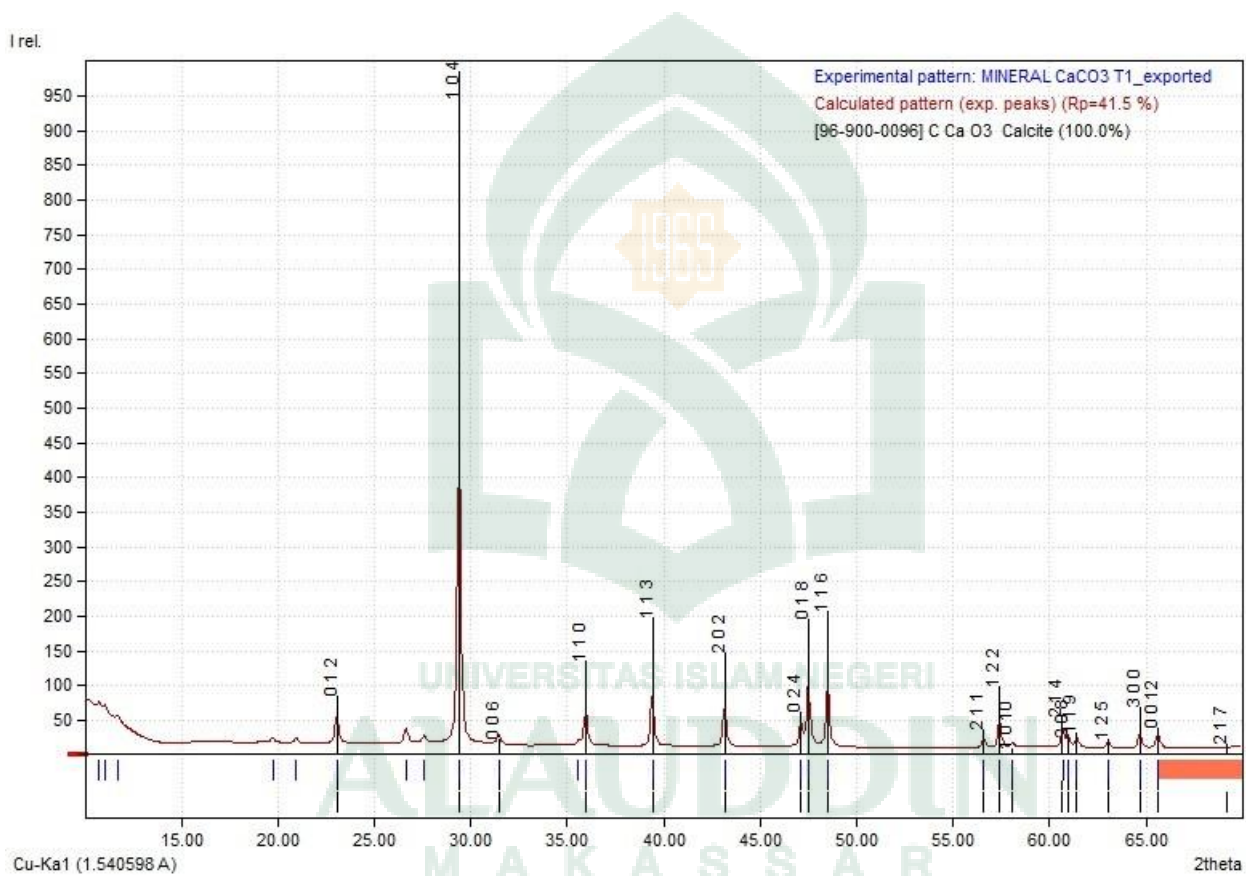
Profile area	Counts	Amount
Overall diffraction profile	3838	100.00%
Background radiation	2649	69.01%
Diffraction peaks	1189	30.99%
Peak area belonging to selected phases	737	19.21%

Peak area of phase A (Calcite)	737	19.21%
Unidentified peak area	560	14.58%

Peak Residuals

Peak data	Counts	Amount
Overall peak intensity	41	100.00%
Peak intensity belonging to selected phases	37	90.49%
Unidentified peak intensity	4	9.51%

Diffraction Pattern Grap



Match! Phase Analysis Report

Sample: MINERAL CaCO3 T2_exported

Sample Data

Filename MINERAL CaCO3T2_exported.xy
 Filepath E:/PNUP/XRD
 Datacollected Mar 4, 202022:29:21
 Datarange 10.152° -70.158°
 Numberofpoints 1189
 Stepsize 0.051
 Rietveldrefinementconverged No Alpha2subtracted Yes
 Backgroundsubtr. No
 Datasmoothed No
 2thetacorrection 0.15°
 Radiation X-rays
 Wavelength 1.540598Å

Matched Phases

Index	Amount (%)	Name	Formula sum
A	100.0		C Ca O3
	27.3	Unidentified peak area	

A: C Ca O3 (100.0 %)

Formulasum C CaO3
 Entrynumber 96-450-2444
 Figure-of-Merit(FoM) 0.903514
 Total numberofpeaks 43
 Peaksinrange 18
 Peaksmatched 17
 Intensityscalefactor 1.03
 Spacegroup R -3c
 Crystalsystem trigonal (hexagonalaxes)
 Unitcell a=4.9758Åc=16.9921Å
 I/cor 3.45
 Calc.density 2.737g/cm³
 Reference

ZolotoyabkoE., CaspiE.N., FieramoscaJ.S., VonDreeleR.B., MarinF., MorG., AddadiL., WeinerS., PolitiY., "Differencesbetween Bond Lengths in Biogenic and Geological Calcite", **10(3)**, 1207(2010)

Candidates

Name	Formula	Entry No.	FoM
Helium	He	96-901-1631	0.7349
Ta N	N Ta	96-153-8017	0.7158
Quartz	O2 Si	96-901-2602	0.7108
Mn Rb	Mn Rh	96-153-9008	0.7058
(Mo0.5 Nb0.5)3 (Si0.5 Sn0.5)	Mo1.5 Nb1.5 Si0.5 Sn0.5	96-152-3834	0.6985
Bi38 Mo7 O78	Bi38 Mo7 O78	96-152-8871	0.6985
Ru Ta	Ru Ta	96-152-3018	0.6939
Tungsten	W	96-900-8584	0.6933
	O45 P9 V12	96-400-1392	0.6860
Au Be	Au Be	96-151-0596	0.6859
	In2 Mn S4	96-591-0246	0.6840
Lithium Cobalt Nitride	Co0.53 Li1.99 N	96-710-2757	0.6839
Rubidium scandium sulfide	Rb S2 Sc	96-202-0009	0.6829
K (C N)	C K N	96-153-5717	0.6828
	Cs F3 Mn Mo O3	96-152-9246	0.6823
Rh Sc	Rh Sc	96-231-0893	0.6807
Ag In S4 Sn	Ag In S4 Sn	96-150-9406	0.6799

(Zr0.92 Sc0.08) Ni Sn	Ni Sc0.08 Sn Zr0.92	96-153-2536	0.6794
Ru Sc	Ru Sc	96-152-3181	0.6789
Eu Pd D3	D3 Eu Pd	96-434-3725	0.6775
	Cl K0.4 Na0.6	96-900-3237	0.6773
	Cs I	96-900-8791	0.6768
Thallium diniobium pentaoxide fluoride	F Nb2 O5 Tl	96-100-0170	0.6767
Thallium diniobium pentaoxide fluoride	F Nb2 O5 Tl	96-100-0495	0.6767
	F0.5 Nb O2.5 Ti0.5	96-901-4171	0.6767
	F0.5 Nb O2.5 Ti0.5	96-901-6648	0.6767
(Ni0.52 Pd0.48)	Ni0.52 Pd0.48	96-231-0170	0.6764
	In2 Mg S4	96-591-0187	0.6762
Cd Sm	Cd Sm	96-152-4196	0.6761
Re	Re	96-153-9234	0.6757
Silver indium tin sulfide (0.3/0.6/0.4/2)	Ag0.3 In0.6 S2 Sn0.4	96-150-9090	0.6754
Nisnite	Ni3 Sn	96-901-4007	0.6747
	Tb Te	96-900-8741	0.6734
Thallium diniobium pentaoxide fluoride	F Nb2 O5 Tl	96-100-0164	0.6723
Osmium	Os	96-900-8511	0.6717
Silver indium tin(IV) sulfide (0.5/0.5/0.5/2)	Ag0.5 In0.5 S2 Sn0.5	96-150-8987	0.6711
	Ca4 Fe0.82 Li1.18 N2	96-810-1637	0.6707
Cs48 (Sn4)4 (Sn O3)4 O7 (O2)	Cs48 O21 Sn20	96-153-7111	0.6701
Rh5 Sr8 D23	D23 Rh5 Sr8	96-153-9881	0.6695
	F6 Ni3 O6 Sb4	96-400-1988	0.6688
Neodymium nickel(III) oxide	Nd Ni O3	96-100-0318	0.6681
Vanadium(III) fluoride	F3 V	96-100-0469	0.6681
(Ag5 Cr5 Sn5 S6 Se14)1.6	Ag8 Cr8 S9.6 Se22.4 Sn8	96-150-9984	0.6671
Kalipyrochlore	Ca0.01 H2O.96 K0.8 Nb0.9 O8.64Sr0.05Ti0.1	96-900-4298	
Neon	Ne	96-901-1710	0.6668
CsFe2F6	Cs4 F24 Fe8	96-152-9267	0.6666
Cr0.7 Mo0.3	Cr0.7 Mo0.3	96-152-4277	0.6659
Cs (Hg F3)	Cs F3 Hg	96-152-7534	0.6656
	Al0.333 H0.167 Na0.167 O2 Si0.667	96-900-9367	0.6653
	0.6671		
Lanthanumstrontiumcopperplatinum(IV)oxide(1.5/.5/.8/.3/4)Cu0.75La1.5O4Pt0.25Sr0.5		96-200-2462	0.6650
Butschliite	C2 CaK2O6	96-901-6685	0.6644
Sodiumlanthanumselenide	LaNaSe2	96-100-9043	0.6641
and 150 others...			

Search-Match

Settings

Referencedatabaseused	COD-Inorg REV1734452016.01.04
Automaticzeropointadaptation	Yes
Minimumfigure-of-merit(FoM)	0.60
2theta window forpeakcorr.	0.30 deg.
Minimum rel. int. forpeakcorr.	1
Parameter/influence2theta	0.50
Parameter/influenceintensities	0.50
Parameter multiple/single phase(s)	0.50

Peak List

No.	2theta [°]	d [Å]	I/I0	FWHM	Matched
1	11.13	7.9451	33.58	0.1010	
2	11.63	7.6059	20.45	0.1010	
3	13.93	6.3531	19.99	0.1010	
4	20.07	4.4206	21.08	0.1010	
5	21.27	4.1742	22.93	0.1010	
6	23.38	3.8019	98.81	0.1010	A
7	23.80	3.7353	32.51	0.1010	
8	26.03	3.4209	23.44	0.1010	
9	27.05	3.2941	65.93	0.1010	

10	27.55	3.2353	63.38	0.1010	
11	27.85	3.2006	70.75	0.1010	
12	29.28	3.0482	19.60	0.1010	
13	29.65	3.0106	1000.00	0.1010	A
14	31.07	2.8761	30.00	0.1010	
15	31.76	2.8155	31.74	0.1010	A
16	33.23	2.6936	55.25	0.1010	
17	35.14	2.5516	27.15	0.1010	
18	35.32	2.5389	26.03	0.1010	
19	35.83	2.5042	17.30	0.1010	
20	36.28	2.4739	143.45	0.1010	A
21	39.73	2.2669	243.08	0.1010	A
22	41.84	2.1576	26.83	0.1010	
23	43.48	2.0797	181.58	0.1010	A
24	47.42	1.9157	73.78	0.1010	A
25	47.82	1.9004	268.64	0.1010	A
26	48.82	1.8639	245.36	0.1010	A
27	51.06	1.7872	17.36	0.1010	
28	56.88	1.6175	45.89	0.1010	A
29	57.71	1.5962	107.17	0.1010	A
30	60.91	1.5196	18.50	0.1010	A
31	61.32	1.5105	33.86	0.1010	A
32	61.68	1.5026	37.69	0.1010	A
33	63.34	1.4671	20.02	0.1010	A
34	64.97	1.4342	59.73	0.1010	A
35	65.93	1.4157	48.19	0.1010	A

Rietveld Refinement using FullProf



Calculation was not run or did not converge

Integrated Profile Areas

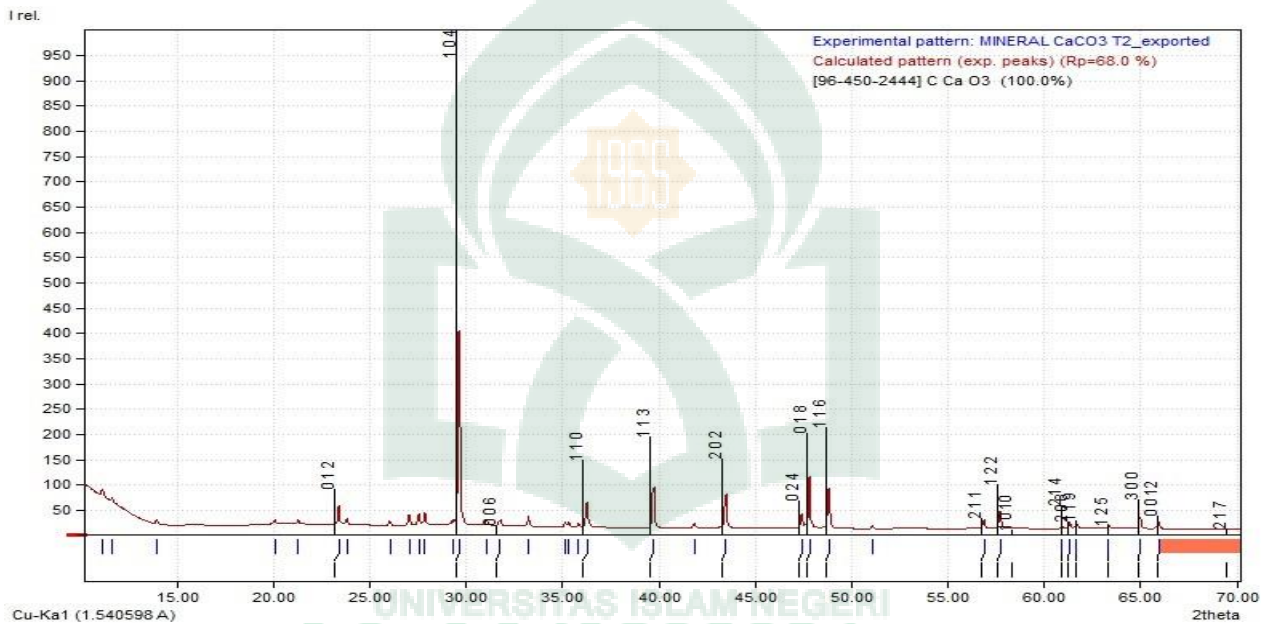
Based on calculated profile

Profile area	Counts	Amount
Overall diffraction profile	4044	100.00%
Background radiation	2843	70.29%
Diffraction peaks	1201	29.71%
Peak area belonging to selected phases	190	4.69%
Peak area of phase A (C Ca O3)	190	4.69%
Unidentified peak area	1104	27.29%

Peak Residuals

Peak data	Counts	Amount
Overall peak intensity	20	100.00%
Peak intensity belonging to selected phases	15	74.14%
Unidentified peak intensity	5	25.86%

Diffraction Pattern Graphic



Match! Copyright © 2003-2016 CRYSTAL IMPACT, Bonn, Germany

Match! Phase Analysis Report

Sample: MINERAL CaCO3 T3_exported

Sample Data

Filename MINERAL CaCO3T3_exported.xy
 Filepath E:/PNUP/XRD
 Datacollected Mar 4, 202022:29:21
 Datarange 9.772° -69.778°
 Numberofpoints 1189
 Stepsize 0.051
 Rietveldrefinementconverged No
 Alpha2subtracted Yes
 Backgroundsubtr. No
 Datasmoothed No
 2thetacorrection -0.23°
 Radiation X-rays
 Wavelength 1.540598Å

Matched Phases

Index	Amount (%)	Name	Formula sum
A	100.0	Calcite	C Ca O3
	30.0	Unidentified peak area	

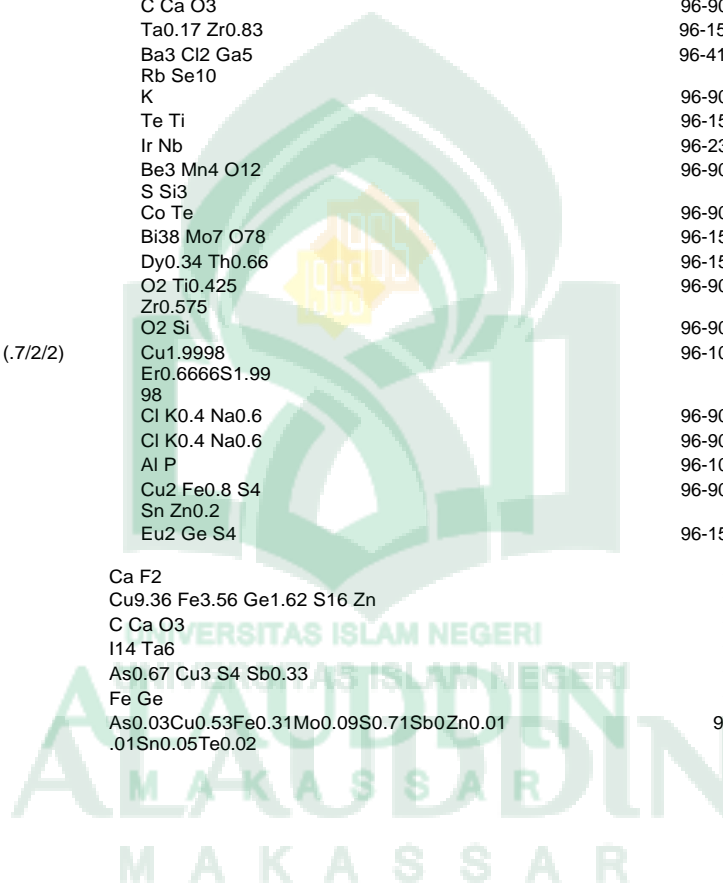
A: Calcite (100.0 %)

Formulasum C CaO3
 Entrynumber 96-901-6707
 Figure-of-Merit(FoM) 0.939360
 Total numberofpeaks 43
 Peaksinrange 17
 Peaksmatched 16
 Intensityscalefactor 1.03
 Spacegroup R -3c
 Crystalsystem trigonal (hexagonalaxes)
 Unitcell a=4.9844Åc=17.0376Å
 I/lor 3.10
 Calc.density 2.720g/cm³
 Reference OndrusP.,VeselovskyF.,Gabasova A.,HlousekJ.,SreinV.,Vavrn I.,SkalaR.,SejkoraJ.,DrabekM.,"Primaryminerals of the Jachymov oredistrict", Journal of the Czech Geological Society **48**,19-147(2003)

Candidates

Name	Formula	Entry No.	FoM
Neon	Ne	96-901-1709	0.7156
Zn Ge P2	Ge P2 Zn	96-231-0650	0.7142
Nitrogen	N2	96-901-2480	0.7016
Europium	Eu	96-900-8536	0.6917
Europium	Eu	96-901-0991	0.6917
Calcite	C Ca O3	96-901-5762	0.6867
Calcite	C Ca O3	96-901-4525	0.6854
Tm Si2	Si2 Tm	96-434-4492	0.6813
(Sc Zr)	Sc Zr	96-152-7135	0.6763
Calcite	C Ca O3	96-901-4345	0.6755
Cu Br	Br Cu	96-154-1529	0.6748
Ca Zn F4	Ca F4 Zn	96-152-9061	0.6737
Calcite	C Ca O3	96-901-4217	0.6736
Au Er	Au Er	96-151-0125	0.6716
(Sc Y4 Si10)0.2	Sc0.2 Si2 Y0.8	96-154-0314	0.6714
Silver copper terbium (0.5/0.5/1)	Ag0.5 Cu0.5 Tb	96-150-9130	0.6707

Y B2	B2 Y	96-151-0855	0.6664
U	U	96-153-9737	0.6662
Mg-Al Layered Double Hydroxide	Al C0.50 Mg2 O9.17	96-210-2793	0.6636
Blossite	Cu2 O7 V2	96-900-1054	0.6625
	H15 Na Ni4 O22 P4	96-432-3133	0.6593
K (C N)	C K N	96-154-1551	0.6582
Ag (Mg0.5 Zn0.5)	Ag Mg0.5 Zn0.5	96-150-9454	0.6576
Cu9.36(Zn0.8Cu0.2)(Ge1.46As0.16)Fe3.56S16As0.16Cu9.56Fe3.56Ge1.46S16Zn0.8		96-152-9631	0.6575
Ba3 V O4.8	Ba3 O4.8 V	96-152-7585	0.6566
	Ba Ce O3	96-210-6626	0.6559
	Ba Ce O3	96-210-6627	0.6559
Calcite	C Ca O3	96-900-0970	0.6550
(Ta0.17 Zr0.83)	Ta0.17 Zr0.83	96-152-8211	0.6548
	Ba3 Cl2 Ga5 Rb Se10	96-411-7367	0.6529
Potassium	K	96-901-1974	0.6526
Ti Te	Te Ti	96-152-2490	0.6523
Iridium niobium	Ir Nb	96-231-0165	0.6523
Helvine	Be3 Mn4 O12 S Si3 Co Te	96-900-8378	0.6523
	Bi38 Mo7 O78	96-900-8888	0.6522
Bi38 Mo7 O78	Bi38 Mo7 O78	96-152-8871	0.6518
(Dy0.34 Th0.66)	Dy0.34 Th0.66	96-152-4003	0.6510
Srilankite	O2 Ti0.425 Zr0.575 O2 Si	96-901-0849	0.6510
Quartz		96-901-2605	0.6510
Europium copper(I) sulfide (.7/2/2)	Cu1.9998 Er0.6666S1.99 98 Cl K0.4 Na0.6	96-100-8079	0.6502
	Cl K0.4 Na0.6	96-900-3256	0.6502
Aluminium phosphide	Al P	96-900-3249	0.6500
Stannite	Cu2 Fe0.8 S4 Sn Zn0.2	96-101-1302	0.6494
	Sn Zn0.2	96-900-4747	0.6485
Eu2 (Ge S4)	Eu2 Ge S4	96-152-6773	0.6480
Fluorite	Ca F2	96-900-7065	0.6472
Renierite	Cu9.36 Fe3.56 Ge1.62 S16 Zn	96-900-1251	0.6468
Calcite	C Ca O3	96-901-5074	0.6468
(Ta6 I12) I2	I14 Ta6	96-152-7127	0.6464
Luzonite	As0.67 Cu3 S4 Sb0.33	96-901-6656	0.6461
Fe Ge	Fe Ge	96-152-4804	0.6459
Colusite	As0.03Cu0.53Fe0.31Mo0.09S0.71Sb0Zn0.01 .01Sn0.05Te0.02	96-900 0009	0.6457
and 150 others...			



Search-Match

Settings

Referencedatabaseused COD-Inorg REV1734452016.01.04
 Automaticzeropointadaptation Yes
 Minimumfigure-of-merit(FoM) 0.60
 2theta window forpeakcorr. 0.30 deg.
 Minimum rel. int. forpeakcorr. 1
 Parameter/influence2theta 0.50
 Parameter/influenceintensities 0.50
 Parameter multiple/single phase(s)0.50

Peak List

No.	2theta [°]	d [Å]	I/I0	FWHM	Matched
1	10.54	8.3846	18.96	0.1010	
2	11.05	7.9980	21.32	0.1010	
3	11.57	7.6429	16.81	0.1010	
4	19.64	4.5170	19.36	0.1010	
5	22.96	3.8704	106.24	0.1010	A
6	23.37	3.8027	20.04	0.1010	
7	26.59	3.3501	44.40	0.1010	
8	27.42	3.2501	35.68	0.1010	
9	28.40	3.1406	28.97	0.1010	
10	28.87	3.0901	43.43	0.1010	
11	29.22	3.0540	1000.00	0.1010	A
12	30.28	2.9496	24.86	0.1010	
13	30.56	2.9225	25.07	0.1010	
14	31.34	2.8516	48.46	0.1010	A
15	34.64	2.5873	21.50	0.1010	
16	34.82	2.5746	18.80	0.1010	
17	35.46	2.5295	18.15	0.1010	
18	35.88	2.5010	154.47	0.1010	A
19	39.31	2.2899	213.81	0.1010	A
20	43.07	2.0987	168.07	0.1010	A
21	47.01	1.9314	84.62	0.1010	A
22	47.41	1.9162	253.46	0.1010	A
23	48.41	1.8788	240.64	0.1010	A
24	56.48	1.6279	42.48	0.1010	A
25	57.30	1.6065	99.42	0.1010	A
26	60.57	1.5274	61.14	0.1010	A
27	60.92	1.5195	30.08	0.1010	A
28	61.29	1.5113	39.28	0.1010	A
29	62.97	1.4749	28.12	0.1010	A
30	64.57	1.4422	86.99	0.1010	A
31	65.50	1.4239	48.99	0.1010	

Rietveld Refinement using FullProf

MAKASSAR

Calculation was not run or did not converge.

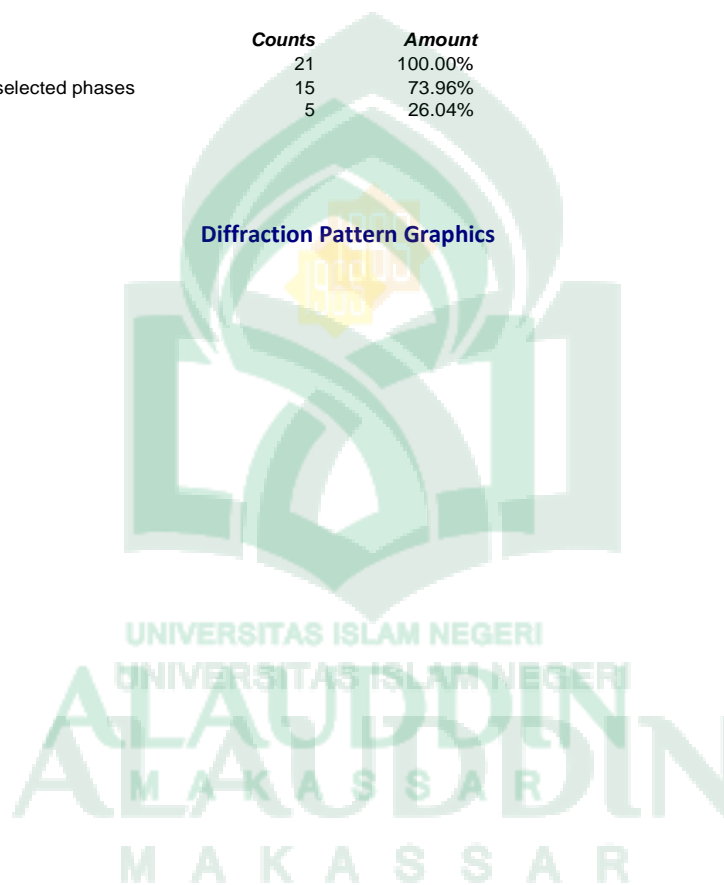
Based on calculated profile

Profile area	Counts	Amount
Overall diffraction profile	3824	100.00%
Background radiation	2544	66.53%
Diffraction peaks	1280	33.47%
Peak area belonging to selected phases	202	5.28%
Peak area of phase A (Calcite)	202	5.28%
Unidentified peak area	1146	29.96%

Peak Residuals

Peak data	Counts	Amount
Overall peak intensity	21	100.00%
Peak intensity belonging to selected phases	15	73.96%
Unidentified peak intensity	5	26.04%

Diffraction Pattern Graphics



Match! Phase Analysis Report

Sample: MINERAL CaCO3 T4_exported

Sample Data

Filename MINERAL CaCO3T4_exported.xy
 Filepath E:/PNUP/XRD
 Datacollected Mar 4, 202022:29:21
 Datarange 10.052° -70.058°
 Numberofpoints 1189
 Stepsize 0.051
 Rietveldrefinementconverged No
 Alpha2subtracted Yes
 Backgroundsubtr. No
 Datasmoothed No
 2thetacorrection 0.05°
 Radiation X-rays
 Wavelength 1.540598Å

Matched Phases

Index	Amount (%)	Name	Formula sum
A	100.0		C Ca O3
	26.6	Unidentified peak area	

A: C Ca O3 (100.0 %)

Formula sum C CaO3
 Entry number 96-450-2442
 Figure-of-Merit(FoM) 0.950407
 Total number of peaks 43
 Peaks in range 18
 Peaks matched 16
 Intensity scale factor 0.99
 Space group R -3c
 Crystal system trigonal (hexagonal axes)
 Unit cell a=4.9874Å c=17.0506Å
 I/|cor 3.51
 Calc. density 2.713g/cm³
 Reference

Zolotoyabko E., Caspi E. N., Fieramosca J. S., Von Dreele R. B., Marin F., Mor G., Addadi L., Weiner S., Politi Y., "Differences between Bond Lengths in Biogenic and Geological Calcite", **10(3)**, 1207 (2010)

Candidates

Name	Formula	Entry No.	FoM
Bi38 Mo7 O78	Bi38 Mo7 O78	96-152-8871	0.6538
	Fe0.63 Li2.37 N	96-810-1636	0.6510
Porphyrazinealuminiumchloride	C16 Al Cl N16 S4	96-430-9965	0.6493
Ag2 In La	Ag2 In La	96-150-9646	0.6486
Y Zn	Y Zn	96-154-1249	0.6482
(Gd0.5 Y0.5) Zn	Gd0.5 Y0.5 Zn	96-152-3173	0.6464
Quartz	O2 Si	96-901-2602	0.6418
Nitrogen	N2	96-900-8572	0.6394
Li1.23 N H1.77	H1.77 Li1.23 N	96-412-4009	0.6287
	C Cl N2 S2	96-701-1348	0.6283
(Na0.98 K0.02) (C N)	C K0.02 N Na0.98	96-154-0920	0.6226
Th4 H15	H15 Th4	96-231-1028	0.6214
Hydrogen	H	96-901-2908	0.6201
Au Tb	Au Tb	96-151-0311	0.6185
Pharmacosiderite	As3 Fe4 H18 O23	96-901-1946	0.6178
Cu F2	Cu F2	96-153-3168	0.6175
	Cl K0.4 Na0.6	96-900-3248	0.6169
Alabandite	Mn S	96-900-5939	0.6164

Cs _{0.08} Na _{0.42} (H ₂ O) _{0.18} (Al ₂ (Be _{2.35} Li _{0.65}) Si ₆ O ₁₈)	Cl K _{0.4} Na _{0.6}	96-900-3235	0.6163
Pharmacosiderite	Al ₂ Be _{2.34} Cs _{0.079} Li _{0.66} Na _{0.419}	Si696-152-9015	0.6150
Th ₄ D ₁₅	O _{24.19}		
Be ₂ (B O ₃) F	As ₃ Fe ₄ H ₂₀ O ₂₁	96-900-8131	0.6131
Cs ₄₈ (Sn ₄) ₄ (Sn O ₃) ₄ O ₇ (O ₂)	D ₁₅ Th ₄	96-230-0517	0.6130
	B Be ₂ F O ₃	96-151-1454	0.6129
	Cs ₄₈ O ₂₁ Sn ₂₀	96-153-7111	0.6127
	Cl K _{0.4} Na _{0.6}	96-900-3230	0.6120
Pharmacosiderite	As ₃ Fe ₄ O ₂₁	96-901-5041	0.6109
Eu Mn ₂ P ₂	Eu Mn ₂ P ₂	96-152-5184	0.6091
Calcium carbonate (Calcite)	Ca C O ₃	96-101-0963	0.6084
D Br	Br D	96-153-8549	0.6070
Hydrogen	H ₂	96-901-3074	0.6064
	Cl K _{0.4} Na _{0.6}	96-900-3244	0.6063
	Cl K _{0.4} Na _{0.6}	96-900-3251	0.6062
	C ₁₇ Cl ₂ O ₁₆ Ru ₆ Sn	96-711-5172	0.6060
Antimony	Sb	96-901-3012	0.6054
Antimony	Sb	96-901-3014	0.6054
Tb Zn	Tb Zn	96-154-0131	0.6050
	Cl K _{0.1} Na _{0.9}	96-900-3307	0.6048
	Cl K _{0.4} Na _{0.6}	96-900-3225	0.6047
	Fe O ₈ S ₂	96-900-3662	0.6037
Li N H ₂	H ₂ Li N	96-412-4006	0.6033
Wooldridgeite	Ca Cu ₂ H ₂₀ Na ₂ O ₂₄ P ₄	96-900-4519	0.6033
Disodiumcalciumdinickel(II)bis[diphosphate(V)]decahydrate	CaH ₂₀ Na ₂ Ni ₂ O ₂₄ P ₄	96-222-9217	0.6020
Hydroniumpharmacosiderite	As ₃ Fe ₄ H _{10.8} K _{0.39} O _{19.1}	96-901-6254	0.6014
Cesium cyanomanganate	C ₆ Cs ₂ Mn ₂ N ₆	96-431-4776	0.6011
Zr F ₅ H ₃ O (H ₂ O)	F ₅ H ₅ O ₂ Zr	96-202-0172	0.6010

Search-Match

Settings

Referencedatabaseused	COD-Inorg REV1734452016.01.04 Automaticzeropointadaptation	Yes
Minimumfigure-of-merit(FoM)	0.60	
2theta window		
forpeakcorr.	0.30 deg. Minimum rel. int. forpeakcorr.	1
Parameter/influence2theta	0.50	
Parameter/influenceintensities	0.50	
Parameter multiple/single phase(s)	0.50	

Peak List

No.	2theta [°]	d [Å]	I/I0	FWHM	Matched
1	10.83	8.1603	15.90	0.1010	
2	10.98	8.0534	19.21	0.1010	
3	11.26	7.8546	16.89	0.1010	
4	13.84	6.3939	12.29	0.1010	
5	19.98	4.4409	17.36	0.1010	
6	21.14	4.1986	11.98	0.1010	
7	23.27	3.8187	80.98	0.1010	A
8	23.70	3.7509	21.36	0.1010	
9	27.07	3.2910	27.06	0.1010	
10	27.59	3.2299	46.37	0.1010	
11	29.16	3.0598	22.69	0.1010	
12	29.62	3.0135	1000.00	0.1010	A
13	30.39	2.9387	12.09	0.1010	
14	30.98	2.8846	17.90	0.1010	
15	31.66	2.8242	32.34	0.1010	A
16	35.04	2.5590	26.54	0.1010	
17	35.46	2.5296	15.72	0.1010	
18	36.20	2.4793	116.81	0.1010	A
19	39.63	2.2722	163.97	0.1010	A
20	43.38	2.0841	149.43	0.1010	A
21	47.33	1.9192	55.51	0.1010	A
22	47.72	1.9044	195.18	0.1010	A
23	48.72	1.8674	182.08	0.1010	A
24	50.98	1.7900	21.37	0.1010	
25	56.80	1.6197	33.39	0.1010	A
26	57.62	1.5985	82.21	0.1010	A
27	58.28	1.5820	15.46	0.1010	A
28	61.60	1.5044	28.30	0.1010	A
29	63.24	1.4691	17.23	0.1010	A
30	64.89	1.4358	48.75	0.1010	A
31	65.82	1.4178	38.35	0.1010	A

Rietveld Refinement using FullProf

Calculation was not run or did not converge.

Integrated Profile Areas

Based on calculated profile

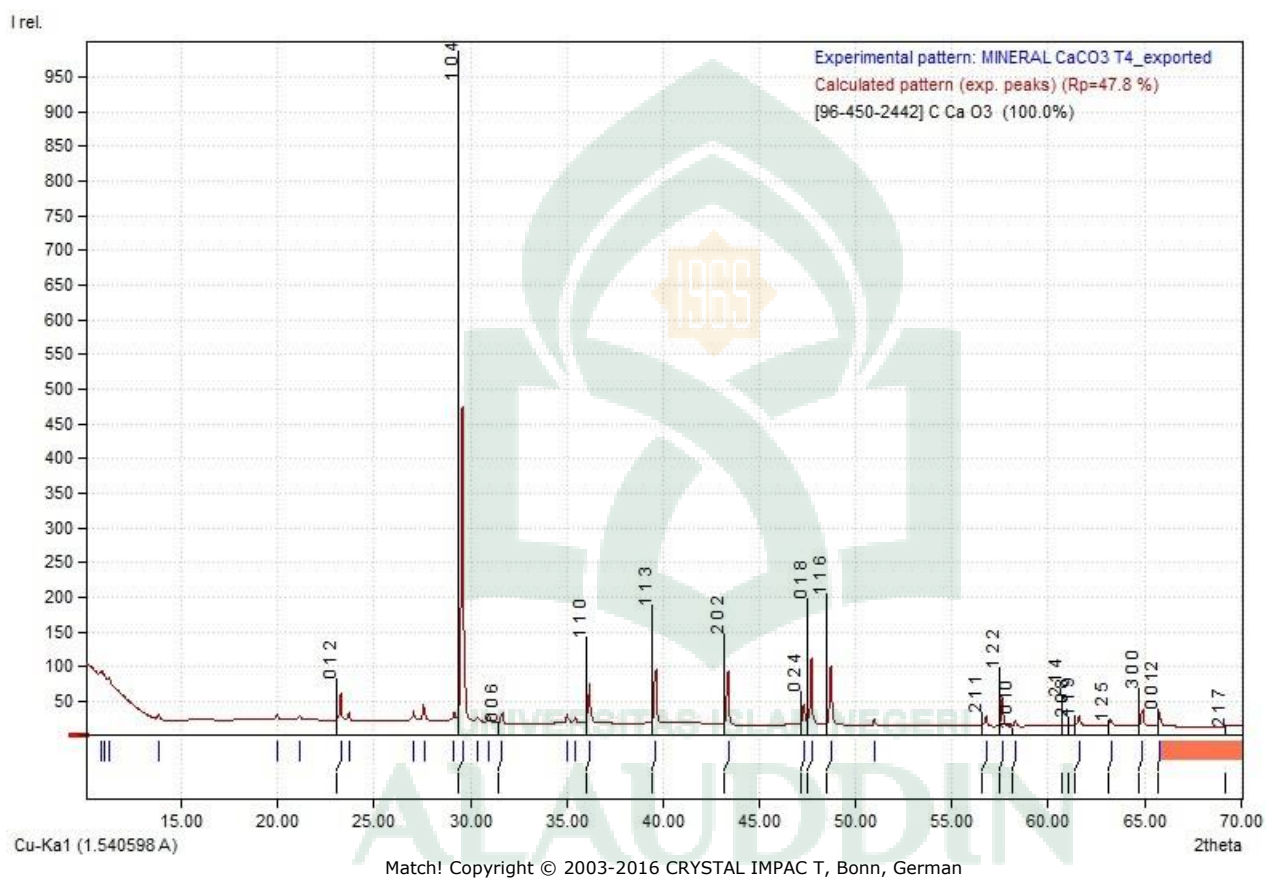
Profile area	Counts	Amount
Overall diffraction profile	4404	100.00%
Background radiation	3131	71.10%
Diffraction peaks	1273	28.90%
Peak area belonging to selected phases	233	5.30%
Peak area of phase A (C Ca O3)	233	5.30%

Unidentified peak area 1170 26.57%

Peak Residuals

Peak data	Counts	Amount
Overall peak intensity	22	100.00%
Peak intensity belonging to selected phases	19	86.68%
Unidentified peak intensity	3	13.32%

Diffraction Pattern Graphics



Match! Phase Analysis Report

Sample: MINERAL CaCO3 T5_exported

Sample Data

Filename MINERAL CaCO3T5_exported.xy
 Filepath E:/PNUP/XRD
 Datacollected Mar 4, 202022:29:21
 Datarange 10.202° -70.208°
 Numberofpoints 1189
 Step size 0.051
 Rietveldrefinementconverged No
 Alpha2subtracted Yes
 Backgroundsubtr. No
 Datasmoothed No
 2thetacorrection 0.2°
 Radiation X-rays
 Wavelength 1.540598Å

Matched Phases

Index	Amount (%)	Name	Formula sum
A	100.0		C Ca O3
	30.6	Unidentified peak area	

A: C Ca O3 (100.0 %)

Formula sum C Ca O3
 Entry number 96-450-2444
 Figure-of-Merit(FoM) 0.910362
 Total number of peaks 43
 Peaks in range 18
 Peaks matched 17
 Intensity scale factor 1.02
 Space group R -3c
 Crystal system trigonal (hexagonal axes)
 Unit cell a=4.9758Å c=16.9921Å
 I/lor 3.45
 Calc. density 2.737g/cm³
 Reference

Zolotoyabko E., Caspi E. N., Fieramosca J. S., Von Dreele R. B., Marin F., Mor G., Addadi L., W
 einer S., Politi Y., "Differences between Bond Lengths in Biogenic and Geological Calcite",
10(3), 1207(2010)

Candidates

Name	Formula	Entry No.	FoM
Sederholmite	Ni0.976 Se0.624 Te0.4	96-900-9900	0.6946
Rh Sc	Rh Sc	96-231-0893	0.6870
Ru Sc	Ru Sc	96-152-3181	0.6865
	C O2	96-151-7803	0.6650
Sodalite	Al O4 P	96-900-5052	0.6628
	Li2.27 Mn0.73 N	96-810-1638	0.6624
Bi38 Mo7 O78	Bi38 Mo7 O78	96-152-8871	0.6596
Nitrogen(I) oxide	N2 O	96-101-0060	0.6574
Neon	Ne	96-901-1710	0.6551
Ir Sc	Ir Sc	96-153-7630	0.6535
	Cs I	96-900-8791	0.6499
Genthelvite	Be3 O12 S Si3 Zn4	96-900-0952	0.6481
Fluorite	Ca F2	96-900-7071	0.6437
Mn Te	Mn Te	96-153-7608	0.6430
Sodalite	Al O4 P	96-900-5051	0.6399
Vanadium(III) fluoride	F3 V	96-100-0469	0.6382
Cs48 (Sn4)4 (Sn O3)4 O7 (O2)	Cs48 O21 Sn20	96-153-7111	0.6369
Na10 (U O2)8 (W5 O20) O8	Na10 O44 U8 W5	96-153-1964	0.6359
Sodalite	Al O4 P	96-900-5053	0.6358

Ti O F2	F2 O Ti	96-231-0845	0.6339
Iron Fluoride	F3 Fe	96-210-0636	0.6328
Lithium Cobalt Nitride	Co0.53 Li1.99 N	96-710-2757	0.6328
	H0.9 Na0.22 O2.45	96-431-0643	0.6307
	Ru		
rubidium magnesium leucite	Mg O12 Rb2 Si5	96-210-4396	0.6293
Cs (Hg F3)	Cs F3 Hg	96-152-7534	0.6281
Os3 Cl2 (C O)10	C10 Cl2 O10 Os3	96-210-6919	0.6280
Eu (Au0.5 Si1.5)	Au0.5 Eu Si1.5	96-151-0230	0.6272
Nitratine	N Na O3	96-900-7555	0.6272
Si (P2 O7)	O7 P2 Si	96-154-1046	0.6263
Iron trifluoride	F3 Fe	96-100-0477	0.6262
	Cl H64 K5 Mo12	96-411-2785	0.6261
	O57 P2 S12		
Thallium diniobium pentaoxide fluoride	F Nb2 O5 Tl	96-100-0164	0.6257
D2 S	D2 S	96-153-8552	0.6250
Nitratine	N Na O3	96-900-7562	0.6222
Fluorite	Ca F2	96-900-7070	0.6197
	C6 Cd3 O12 P2	96-210-0301	0.6192
W6 Br16	Br16 W6	96-153-9092	0.6187
Nitratine	N Na O3	96-900-9660	0.6183
Hydrogen	H	96-901-2909	0.6169
Hydrogen	H2	96-901-3078	0.6164
	C8 Br6 O9 Ru4	96-406-0659	0.6157
Sederholmite	Ni0.98 Se0.51	96-900-9901	0.6152
	Te0.51		
(Zr0.786 Sc0.214) O1.893	O1.893 Sc0.214	96-152-9102	0.6151
	Zr0.786		
	F6 Ni3 O6 Sb4	96-400-1988	0.6150
Rb8 (Mo9 S11) (Mo24 S26)	Mo33 Rb8 S37	96-152-6260	0.6146

H3.62Cs0.36(Ti O)3.72(GeO)0.28(SiO4)1.53(GeO4)1.47(H2O)7.26Cs0.36Ge1.75H18.14O23.26Si1.53Ti3.7296-153-3716
0.6138

Zirconium	Zr	96-900-8524	0.6135
Manganese yttrium deuteride (23/6/18)	D18 Mn23 Y6	96-100-8609	0.6134
Manganese yttrium deuteride (23/6/18)	D18 Mn23 Y6	96-100-8910	0.6134
Hydrogen	H2	96-901-3091	0.6132
CuNO blue	C12 Cu N6 O7	96-710-1658	0.6127
Ag In S4 Sn	Ag In S4 Sn	96-150-9406	0.6125

and 40 others...

Search-Match

Settings

Referencedatabaseused	COD-Inorg REV1734452016.0
Minimumfigure-of-merit(FoM)	0.60
2theta window forpeakcorr.	0.30 deg.
Minimum rel. int. forpeakcorr.	1
Parameter/influence2theta	0.50
Parameter/influenceintensities	0.50
Parameter multiple/single phase(s)	0.50

Peak List

No.	2theta [°]	d [Å]	I/I0	FWHM	Matched
1	11.26	7.8504	24.45	0.1010	
2	11.76	7.5185	18.34	0.1010	
3	11.95	7.3982	17.84	0.1010	
4	12.18	7.2589	18.70	0.1010	
5	12.67	6.9787	16.86	0.1010	
6	13.85	6.3890	22.38	0.1010	
7	14.22	6.2234	21.08	0.1010	
8	14.59	6.0655	19.34	0.1010	
9	20.07	4.4215	18.42	0.1010	
10	23.38	3.8020	100.35	0.1010	A
11	23.82	3.7321	28.48	0.1010	
12	26.94	3.3065	35.14	0.1010	
13	27.57	3.2332	23.11	0.1010	
14	27.85	3.2008	19.29	0.1010	
15	29.28	3.0473	20.72	0.1010	
16	29.65	3.0107	1000.00	0.1010	A
17	31.16	2.8680	20.14	0.1010	
18	31.78	2.8133	43.30	0.1010	A
19	35.03	2.5592	18.47	0.1010	
20	36.30	2.4728	150.81	0.1010	A
21	39.74	2.2662	210.69	0.1010	A
22	43.49	2.0791	178.99	0.1010	A
23	47.43	1.9152	68.49	0.1010	A
24	47.83	1.9001	236.43	0.1010	A
25	48.84	1.8634	232.29	0.1010	A
26	56.90	1.6169	37.46	0.1010	A
27	57.74	1.5954	96.53	0.1010	A
28	61.02	1.5174	57.43	0.1010	A
29	61.71	1.5019	32.40	0.1010	A
30	63.40	1.4660	17.98	0.1010	A
31	65.00	1.4337	60.04	0.1010	A
32	65.92	1.4158	55.66	0.1010	A

Rietveld Refinement using FullProf

Calculation was not run or did not converge.

Integrated Profile Areas

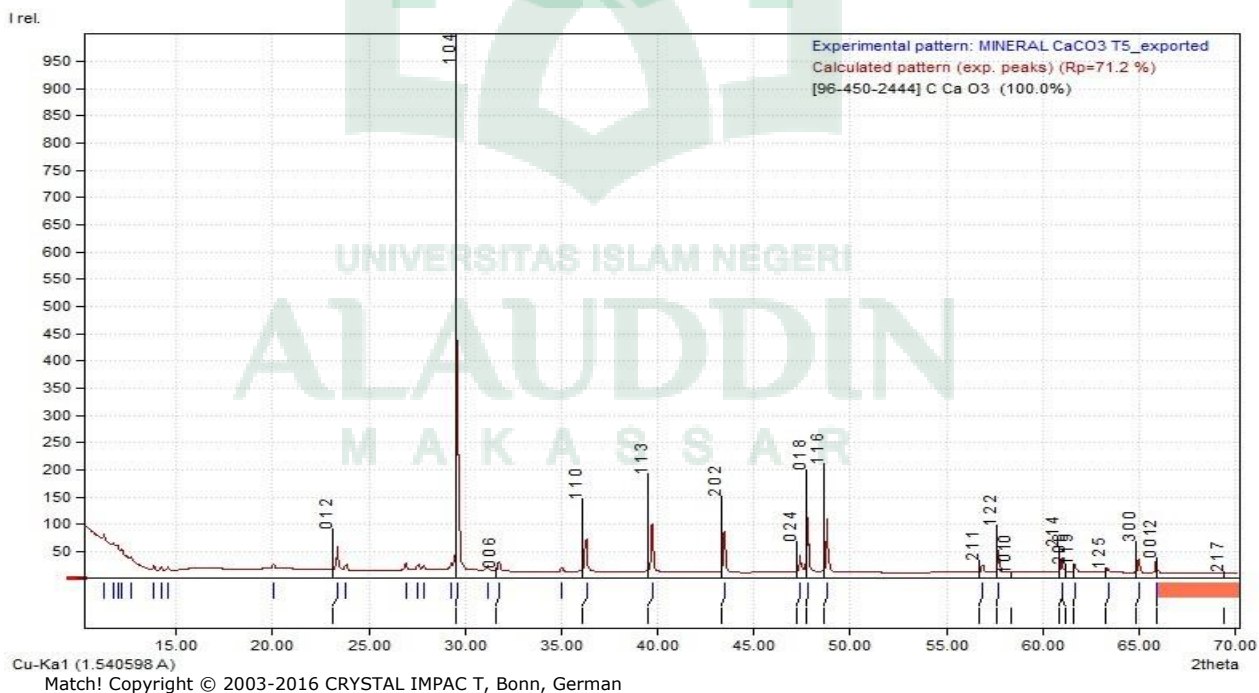
Based on calculated profile

Profile area	Counts	Amount
Overall diffraction profile	3881	100.00%
Background radiation	2567	66.15%
Diffraction peaks	1314	33.85%
Peak area belonging to selected phases	214	5.52%
Peak area of phase A (C Ca O3)	214	5.52%
Unidentified peak area	1187	30.59%

Peak Residuals

Peak data	Counts	Amount
Overall peak intensity	22	100.00%
Peak intensity belonging to selected phases	18	82.41%
Unidentified peak intensity	4	17.59%

Diffraction Pattern Graphics



Lampiran VI: Hasil XRF

SAMPLE ANALYSIS REPORT
 FISHER SCIENTIFIC
 ARL QUANT'X EDXRF ANALYZER
 STANDARDLESS METHOD

THERMO
 UNIQUANT (TM)

C:\UQed\USER\Quant'X\Job\JOB.268 2020-07-14
 CaCO3#titik1

Quant'X Rh end window 50kV
 C:\UQed\USER\Quant'X\Appl\AnySampleAir.kap 2008-06-13
 Calculated as : Elements Matrix (Shape & ImpFc) : 4|Ca..
 X-ray path = Air Film type = No supporting film
 Case number = 0 All known
 Eff.Diam. = 13.0 mm Eff.Area = 132.7 mm2
 KnownConc = 0 %
 Rest = 0 % Viewed Mass =
 1000.00 mg
 Dil/Sample = 0 Sample Height = 5.00
 mm

El	m/m%	StdErr
--	-----	-----
Ca	72.46	0.46
Si	14.29	0.23
Fe	9.76	0.19
K	1.66	0.26
Al	1.30	0.57
Ti	0.427	0.092
Nb	0.0337	0.0040
Mo	0.0218	0.0038
Sb	0.0102	0.0020
In	0.0099	0.0015
Sn	0.0098	0.0019
Te	0.0090	0.0041
Ru	0.0089	0.0030

KnownConc= 0 REST= 0 D/S= 0
 Sum Conc's before normalisation to 100% : 48.9 %

SAMPLE ANALYSIS REPORT
 FISHER SCIENTIFIC
 ARL QUANT'X EDXRF ANALYZER
 STANDARDLESS METHOD

THERMO
 UNIQUANT (TM)

C:\UQed\USER\Quant'X\Job\JOB.268 2020-07-14
 CaCO3#titikl OKS

Quant'X Rh end window 50kV

C:\UQed\USER\Quant'X\Appl\AnySampleAir.kap 2008-06-13

Calculated as : Oxides Matrix (Shape & ImpFc) : 4|Ca..
 X-ray path = Air Film type = No supporting film
 Case number = 0 All known
 Eff.Diam. = 13.0 mm Eff.Area = 132.7 mm2
 KnownConc = 0 %
 Rest = 0 % Viewed Mass =
 1000.000 mg
 Dil/Sample = 0 Sample Height = 7.54
 mm

Compound	m/m%	StdErr	El	m/m%	StdErr
CaO	64.35	0.58	Ca	46.01	0.42
SiO2	23.33	0.36	Si	10.91	0.17
Fe2O3	7.65	0.15	Fe	5.35	0.10
Al2O3	2.78	0.79	Al	1.47	0.42
K2O	1.41	0.20	K	1.17	0.17
TiO2	0.392	0.086	Ti	0.235	0.051
Nb2O5	0.0260	0.0032	Nb	0.0182	0.0022
MoO3	0.0177	0.0032	Mo	0.0118	0.0021
SnO2	0.0069	0.0015	Sn	0.0054	0.0012
Sb2O3	0.0069	0.0014	Sb	0.0058	0.0012
In2O3	0.0066	0.0011	In	0.0055	0.0009
TeO2	0.0064	0.0031	Te	0.0051	0.0025
RuO4	0.0064	0.0022	Ru	0.0049	0.0017

KnownConc= 0 REST= 0 D/S= 0
 Sum Conc's before normalisation to 100% : 59.9 %
 Total % stripped Oxygen: 34.792

SAMPLE ANALYSIS REPORT
 FISHER SCIENTIFIC
 ARL QUANT'X EDXRF ANALYZER
 STANDARDLESS METHOD

THERMO
 UNIQUANT (TM)

C:\UQed\USER\Quant'X\Job\JOB.269 2020-07-14
 CaCO3#titik2

Quant'X Rh end window 50kV

C:\UQed\USER\Quant'X\Appl\AnySampleAir.kap 2008-06-13

Calculated as : Elements Matrix (Shape & ImpFc) : 4|Ca..
 X-ray path = Air Film type = No supporting film
 Case number = 0 All known
 Eff.Diam. = 13.0 mm Eff.Area = 132.7 mm2
 KnownConc = 0 %
 Rest = 0 % Viewed Mass =
 1000.00 mg
 Dil/Sample = 0 Sample Height = 5.00
 mm

El	m/m%	StdErr
Ca	66.88	0.46
Si	15.81	0.25
Fe	10.01	0.17
K	3.61	0.25
Al	2.87	0.61
Ti	0.674	0.095
Ba	0.072	0.031
Nb	0.0261	0.0064
Mo	0.0140	0.0061
In	0.0120	0.0015
Sb	0.0114	0.0020
Sn	0.0109	0.0019

KnownConc= 0 REST= 0
 Sum Conc's before normalisation to 100% : 45.3 %

D/S= 0

SAMPLE ANALYSIS REPORT
 FISHER SCIENTIFIC
 ARL QUANT'X EDXRF ANALYZER
 STANDARDLESS METHOD

THERMO
 UNIQUANT (TM)

C:\UQed\USER\Quant'X\Job\JOB.269 2020-07-14
 CaCO3#titik2 OKs

Quant'X Rh end window 50kV

C:\UQed\USER\Quant'X\Appl\AnySampleAir.kap 2008-06-13

Calculated as : Oxides Matrix (Shape & ImpFc) : 4|Ca..
 X-ray path = Air Film type = No supporting film
 Case number = 0 All known
 Eff.Diam. = 13.0 mm Eff.Area = 132.7 mm2
 KnownConc = 0 %
 Rest = 0 % Viewed Mass =
 1000.000 mg
 Dil/Sample = 0 Sample Height = 7.54
 mm

Compound	m/m%	StdErr	El	m/m%	StdErr
CaO	58.84	0.59	Ca	42.07	0.42
SiO2	25.40	0.40	Si	11.88	0.19
Fe2O3	7.76	0.15	Fe	5.43	0.11
Al2O3	4.29	0.86	Al	2.27	0.46
K2O	2.98	0.19	K	2.47	0.16
TiO2	0.619	0.090	Ti	0.371	0.054
BaO	0.054	0.021	Ba	0.048	0.019
Nb2O5	0.0201	0.0051	Nb	0.0140	0.0035
MoO3	0.0114	0.0051	Mo	0.0076	0.0034
In2O3	0.0081	0.0011	In	0.0067	0.0009
Sb2O3	0.0078	0.0015	Sb	0.0065	0.0012
SnO2	0.0077	0.0015	Sn	0.0061	0.0012

KnownConc= 0 REST= 0 D/S= 0
 Sum Conc's before normalisation to 100% : 55.2 %
 Total % stripped Oxygen: 35.422

SAMPLE ANALYSIS REPORT
 FISHER SCIENTIFIC
 ARL QUANT'X EDXRF ANALYZER
 STANDARDLESS METHOD

THERMO
 UNIQUANT (TM)

C:\UQed\USER\Quant'X\Job\JOB.270 2020-07-14
 CaCo3#titik3

Quant'X Rh end window 50kV

C:\UQed\USER\Quant'X\Appl\AnySampleAir.kap 2008-06-13

Calculated as : Elements Matrix (Shape & ImpFc) : 4|Ca..
 X-ray path = Air Film type = No supporting film
 Case number = 0 All known
 Eff.Diam. = 13.0 mm Eff.Area = 132.7 mm2
 KnownConc = 0 %
 Rest = 0 % Viewed Mass =
 1000.00 mg
 Dil/Sample = 0 Sample Height = 5.00
 mm

El	m/m%	StdErr
Ca	73.81	0.22
Si	13.67	0.22
Fe	9.91	0.19
K	1.98	0.26
Ti	0.530	0.097
Nb	0.0381	0.0044
Mo	0.0240	0.0045
Sb	0.0116	0.0022
In	0.0098	0.0016
Sn	0.0097	0.0022
Ru	0.0087	0.0035

KnownConc= 0 REST= 0
 Sum Conc's before normalisation to 100% : 44.0 %

D/S= 0

SAMPLE ANALYSIS REPORT
 FISHER SCIENTIFIC
 ARL QUANT'X EDXRF ANALYZER
 STANDARDLESS METHOD

THERMO
 UNIQUANT (TM)

C:\UQed\USER\Quant'X\Job\JOB.270 2020-07-14
 CaCo3#titik3 OKS

Quant'X Rh end window 50kV

C:\UQed\USER\Quant'X\Appl\AnySampleAir.kap 2008-06-13

Calculated as : Oxides Matrix (Shape & ImpFc) : 4|Ca..
 X-ray path = Air Film type = No supporting film
 Case number = 0 All known
 Eff.Diam. = 13.0 mm Eff.Area = 132.7 mm2
 KnownConc = 0 %
 Rest = 0 % Viewed Mass =
 1000.000 mg
 Dil/Sample = 0 Sample Height = 7.54
 mm

Compound	m/m%	StdErr	El	m/m%	StdErr
CaO	67.42	0.29	Ca	48.20	0.21
SiO2	22.16	0.33	Si	10.36	0.15
Fe2O3	8.12	0.16	Fe	5.68	0.11
K2O	1.71	0.21	K	1.42	0.17
TiO2	0.507	0.095	Ti	0.304	0.057
Nb2O5	0.0308	0.0037	Nb	0.0215	0.0026
MoO3	0.0204	0.0039	Mo	0.0136	0.0026
Sb2O3	0.0083	0.0017	Sb	0.0069	0.0014
SnO2	0.0071	0.0017	Sn	0.0056	0.0014
In2O3	0.0068	0.0013	In	0.0056	0.0010
RuO4	0.0065	0.0027	Ru	0.0049	0.0020

KnownConc= 0 REST= 0 D/S= 0
 Sum Conc's before normalisation to 100% : 52.6 %
 Total % stripped Oxygen: 33.971

SAMPLE ANALYSIS REPORT
 FISHER SCIENTIFIC
 ARL QUANT'X EDXRF ANALYZER
 STANDARDLESS METHOD

THERMO
 UNIQUANT (TM)

C:\UQed\USER\Quant'X\Job\JOB.271 2020-07-14
 CaCO3#titik4

Quant'X Rh end window 50kV

C:\UQed\USER\Quant'X\Appl\AnySampleAir.kap 2008-06-13

Calculated as : Elements Matrix (Shape & ImpFc) : 4|Ca..
 X-ray path = Air Film type = No supporting film
 Case number = 0 All known
 Eff.Diam. = 13.0 mm Eff.Area = 132.7 mm2
 KnownConc = 0 %
 Rest = 0 % Viewed Mass =
 1000.00 mg
 Dil/Sample = 0 Sample Height = 5.00
 mm

El	m/m%	StdErr
Ca	67.49	0.45
Si	16.05	0.25
Fe	11.36	0.17
K	2.75	0.25
Al	1.37	0.60
Ti	0.826	0.085
Ba	0.062	0.028
Nb	0.0337	0.0040
Mo	0.0210	0.0040
In	0.0109	0.0014
Sn	0.0097	0.0018
Sb	0.0092	0.0019
Ru	0.0083	0.0031

KnownConc= 0

REST= 0

D/S= 0

Sum Conc's before normalisation to 100% : 47.0 %

SAMPLE ANALYSIS REPORT
 FISHER SCIENTIFIC
 ARL QUANT'X EDXRF ANALYZER
 STANDARDLESS METHOD

THERMO
 UNIQUANT (TM)

C:\UQed\USER\Quant'X\Job\JOB.271 2020-07-14
 CaCO3#titik4 OKs

Quant'X Rh end window 50kV

C:\UQed\USER\Quant'X\Appl\AnySampleAir.kap 2008-06-13

Calculated as : Oxides Matrix (Shape & ImpFc) : 4|Ca..
 X-ray path = Air Film type = No supporting film
 Case number = 0 All known
 Eff.Diam. = 13.0 mm Eff.Area = 132.7 mm2
 KnownConc = 0 %
 Rest = 0 % Viewed Mass =
 1000.000 mg
 Dil/Sample = 0 Sample Height = 7.54
 mm

Compound	m/m%	StdErr	El	m/m%	StdErr
CaO	60.01	0.59	Ca	42.91	0.42
SiO2	25.93	0.39	Si	12.12	0.18
Fe2O3	8.89	0.16	Fe	6.22	0.11
K2O	2.30	0.20	K	1.91	0.16
Al2O3	1.98	0.86	Al	1.05	0.46
TiO2	0.772	0.081	Ti	0.463	0.049
BaO	0.047	0.020	Ba	0.042	0.018
Nb2O5	0.0262	0.0032	Nb	0.0183	0.0022
MoO3	0.0172	0.0034	Mo	0.0115	0.0023
In2O3	0.0074	0.0011	In	0.0061	0.0009
SnO2	0.0069	0.0014	Sn	0.0054	0.0011
Sb2O3	0.0063	0.0014	Sb	0.0053	0.0012
RuO4	0.0060	0.0023	Ru	0.0046	0.0017

KnownConc= 0 REST= 0 D/S= 0
 Sum Conc's before normalisation to 100% : 56.8 %
 Total % stripped Oxygen: 35.240

SAMPLE ANALYSIS REPORT
 FISHER SCIENTIFIC
 ARL QUANT'X EDXRF ANALYZER
 STANDARDLESS METHOD

THERMO
 UNIQUANT (TM)

C:\UQed\USER\Quant'X\Job\JOB.272 2020-07-14
 CaCO3#titik5

Quant'X Rh end window 50kV

C:\UQed\USER\Quant'X\Appl\AnySampleAir.kap 2008-06-13

Calculated as : Elements Matrix (Shape & ImpFc) : 4|Ca..
 X-ray path = Air Film type = No supporting film
 Case number = 0 All known
 Eff.Diam. = 13.0 mm Eff.Area = 132.7 mm2
 KnownConc = 0 %
 Rest = 0 % Viewed Mass =
 1000.00 mg
 Dil/Sample = 0 Sample Height = 5.00
 mm

El	m/m%	StdErr
Ca	77.43	0.21
Si	12.48	0.21
Fe	7.76	0.17
K	1.65	0.26
Ti	0.594	0.071
Nb	0.0334	0.0037
Mo	0.0211	0.0037
In	0.0104	0.0013
Sn	0.0094	0.0017
Sb	0.0089	0.0018
Ru	0.0078	0.0029

KnownConc= 0 REST= 0
 Sum Conc's before normalisation to 100% : 46.1 %

D/S= 0

SAMPLE ANALYSIS REPORT
 FISHER SCIENTIFIC
 ARL QUANT'X EDXRF ANALYZER
 STANDARDLESS METHOD

THERMO
 UNIQUANT (TM)

C:\UQed\USER\Quant'X\Job\JOB.272 2020-07-14
 CaCO3#titik5 OKS

Quant'X Rh end window 50kV

C:\UQed\USER\Quant'X\Appl\AnySampleAir.kap 2008-06-13

Calculated as : Oxides Matrix (Shape & ImpFc) : 4|Ca..
 X-ray path = Air Film type = No supporting film
 Case number = 0 All known
 Eff.Diam. = 13.0 mm Eff.Area = 132.7 mm2
 KnownConc = 0 %
 Rest = 0 % Viewed Mass =
 1000.000 mg
 Dil/Sample = 0 Sample Height = 7.54
 mm

Compound	m/m%	StdErr	El	m/m%	StdErr
CaO	71.12	0.28	Ca	50.85	0.20
SiO2	20.43	0.31	Si	9.55	0.15
Fe2O3	6.35	0.14	Fe	4.44	0.10
K2O	1.46	0.21	K	1.21	0.18
TiO2	0.569	0.069	Ti	0.341	0.041
Nb2O5	0.0272	0.0031	Nb	0.0190	0.0022
MoO3	0.0181	0.0032	Mo	0.0121	0.0022
In2O3	0.0073	0.0010	In	0.0060	0.0008
SnO2	0.0070	0.0014	Sn	0.0055	0.0011
Sb2O3	0.0063	0.0014	Sb	0.0053	0.0011
RuO4	0.0059	0.0022	Ru	0.0045	0.0017

KnownConc= 0 REST= 0 D/S= 0
 Sum Conc's before normalisation to 100% : 55.5 %
 Total % stripped Oxygen: 33.553